



КОЛЛОИДНЫЕ КВАНТОВЫЕ ТОЧКИ – НОВЫЙ КЛАСС ЛЮМИНОФОРОВ

- 1. КВАНТОВО-РАЗМЕРНЫЙ ЭФФЕКТ
- 2. МЕТОДЫ СИНТЕЗА И АКТИВАЦИИ ЛЮМИНЕСЦЕНЦИИ
- 3. СТРУКТУРА КВАНТОВЫХ ТОЧЕК И ИХ ЛИГАНДНОЙ ОБОЛОЧКИ
- 4. ЗАКОНЫ ЛЮМИНЕСЦЕНЦИИ ДЛЯ КВАНТОВЫХ ТОЧЕК?

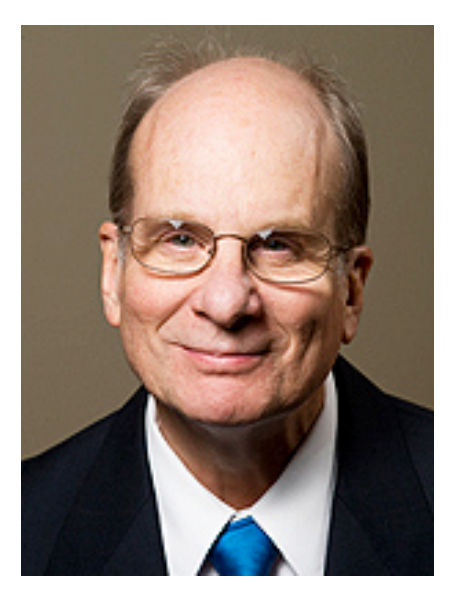
ЗАВИСИМОСТЬ ЛЮМИНЕСЦЕНЦИИ ОТ ДЛИНЫ ВОЛНЫ ВОЗБУДАЮЩЕГО СВЕТА СООТНОШЕНИЕ КЕННАРДА-СТЕПАНОВА И ЗАКОН ВАВИЛОВА-ЛЁВШИНА «МЕРЦАЮЩАЯ» ЛЮМИНЕСЦЕНЦИЯ МНОГОЭКСПОНЕНЦИАЛЬНАЯ КИНЕТИКА ЛЮМИНЕСЦЕНЦИИ МНОГОЭКСИТОННАЯ ГЕНЕРАЦИЯ

- 5. КЛАСТЕРЫ КВАНТОВЫХ ТОЧЕК
- 6. ПРИЛОЖЕНИЯ И ЗАКЛЮЧЕНИЕ

Приоритет открытия квантово-размерного эффекта в полупроводниковых нанокристаллах, получаемых методом фазового расслоения в силикатных стеклах, принадлежит Алексею Екимову из ГОИ («Письмах в ЖЭТФ» в 1981 г. CuCl₂ и в 1983 г. CdS), а для коллоидных накристаллов - Луису Брюсу из Bell Laboratory (1985 г.). Признанием приоритета этих авторов было вручение в 2006 году Луису Брюсу , Алексею Екимову и Александру Эфросу премии Роберта Вуда и в 2008 году премии Кavli Prize in Nanotechnology Луису Брюсу.



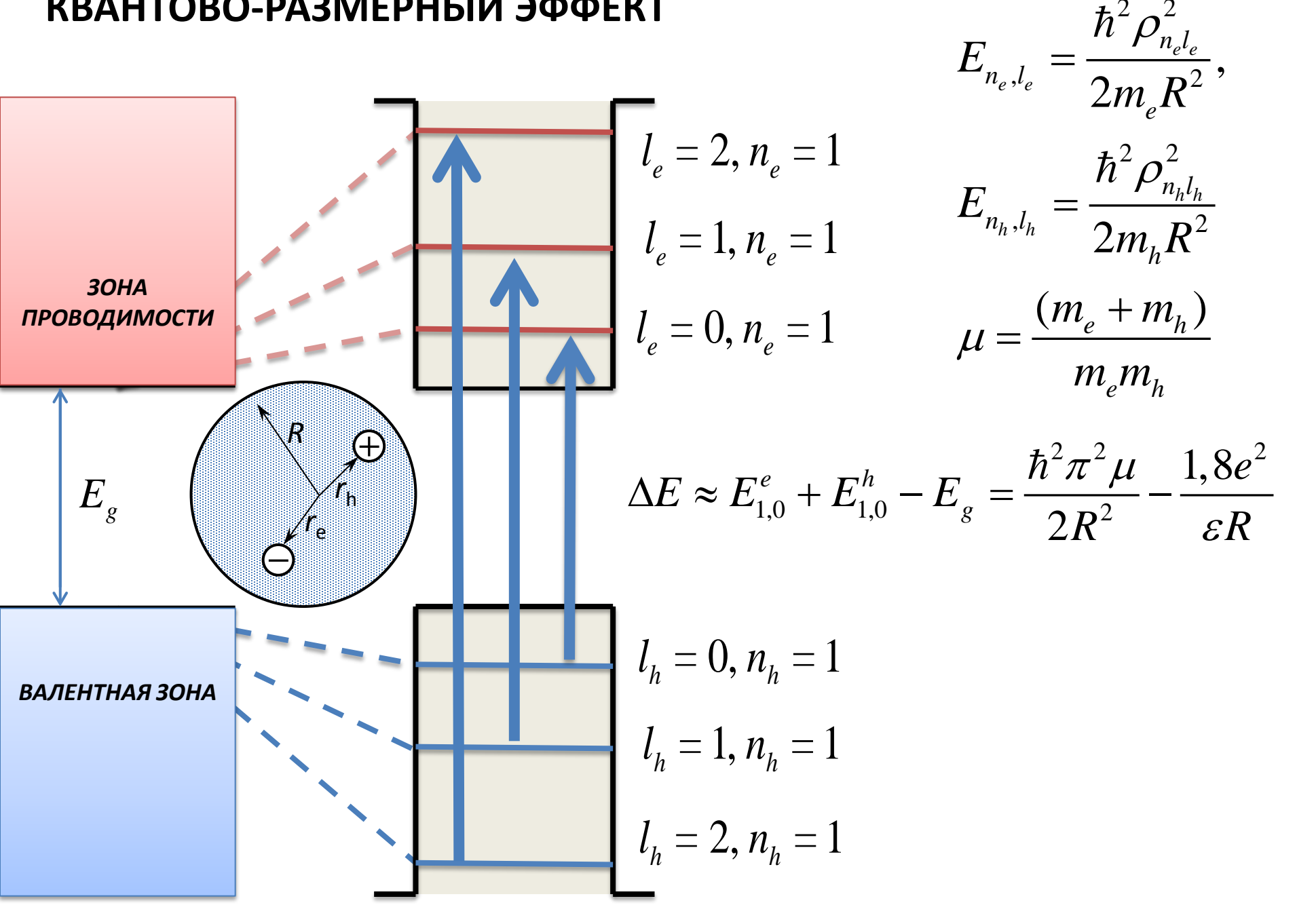


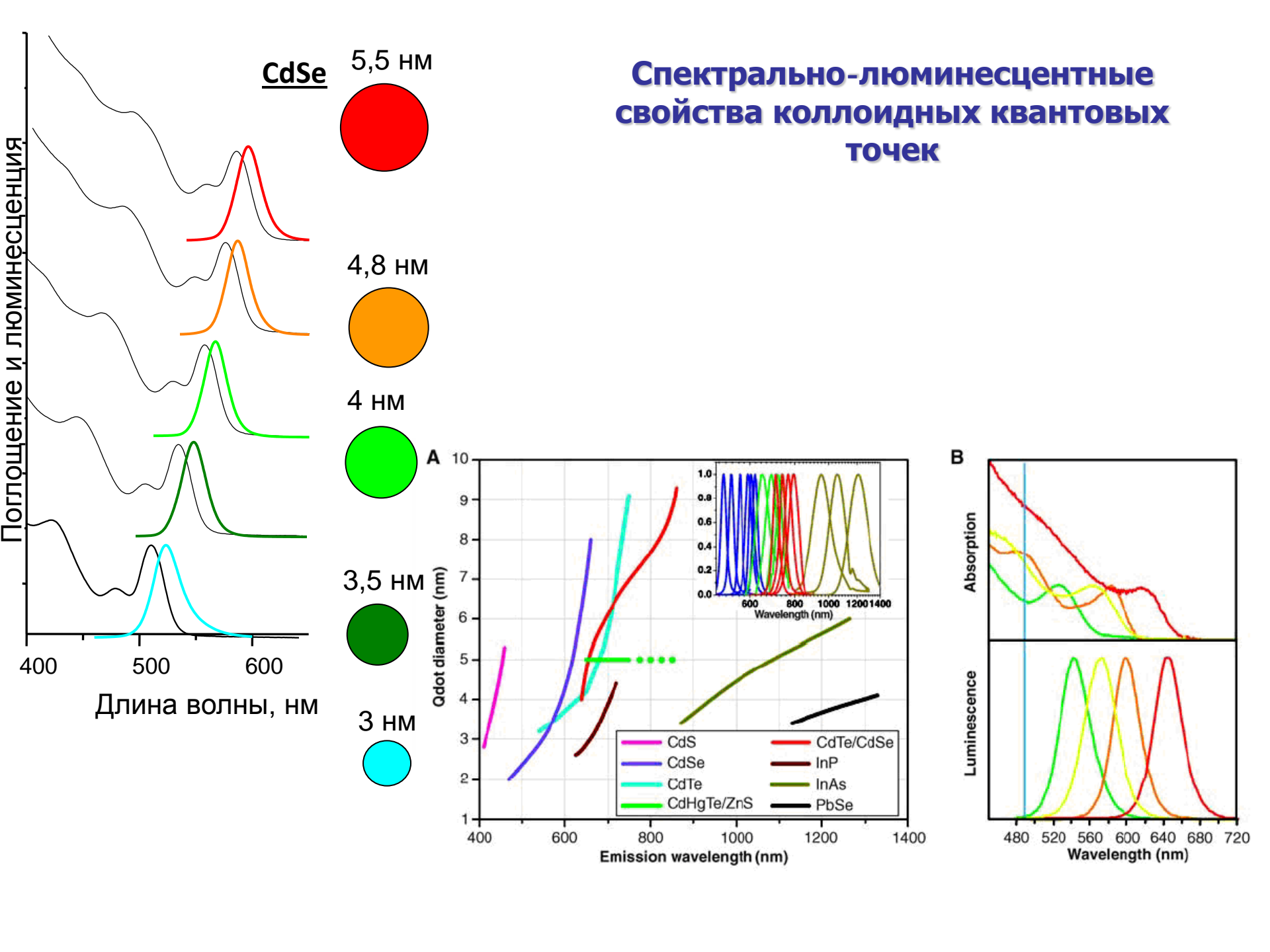


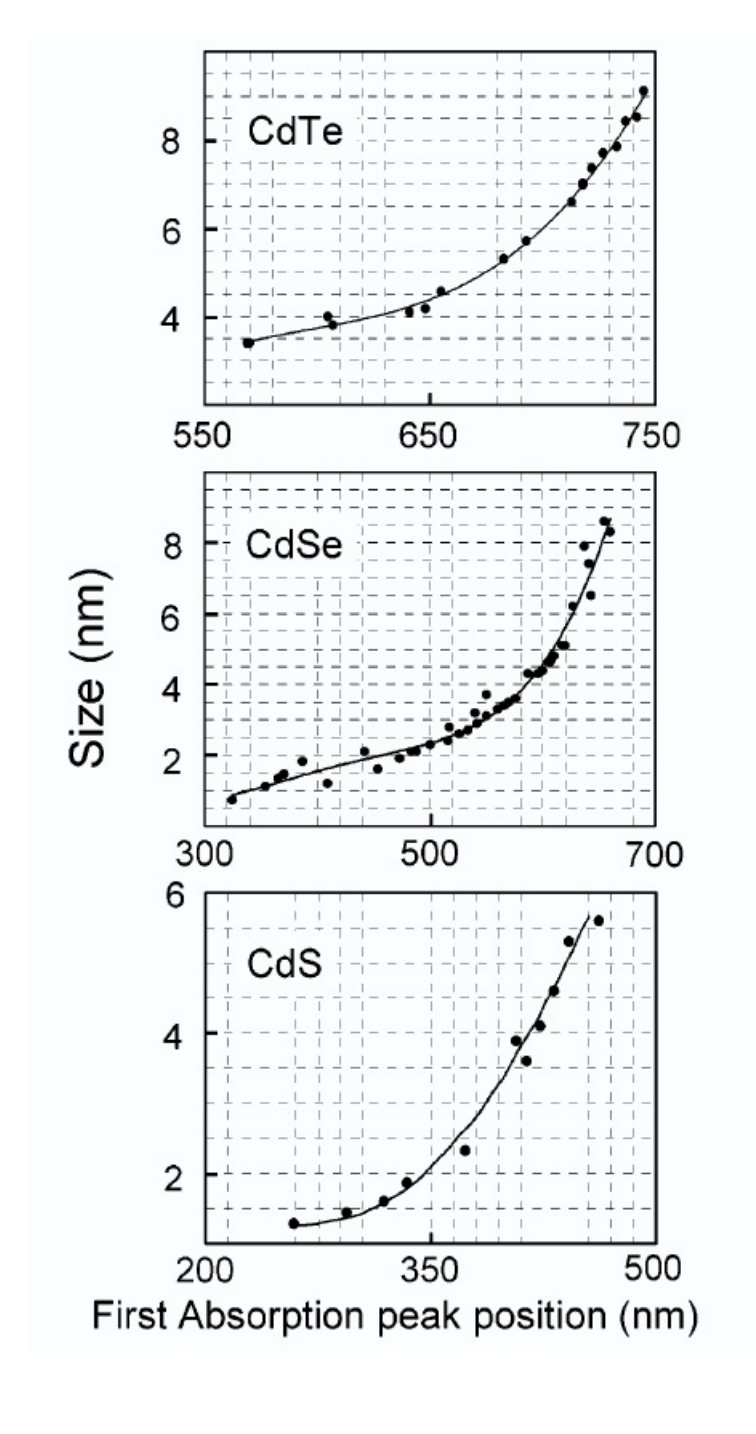
Louis E. Brus
Professor
Columbia University, USA

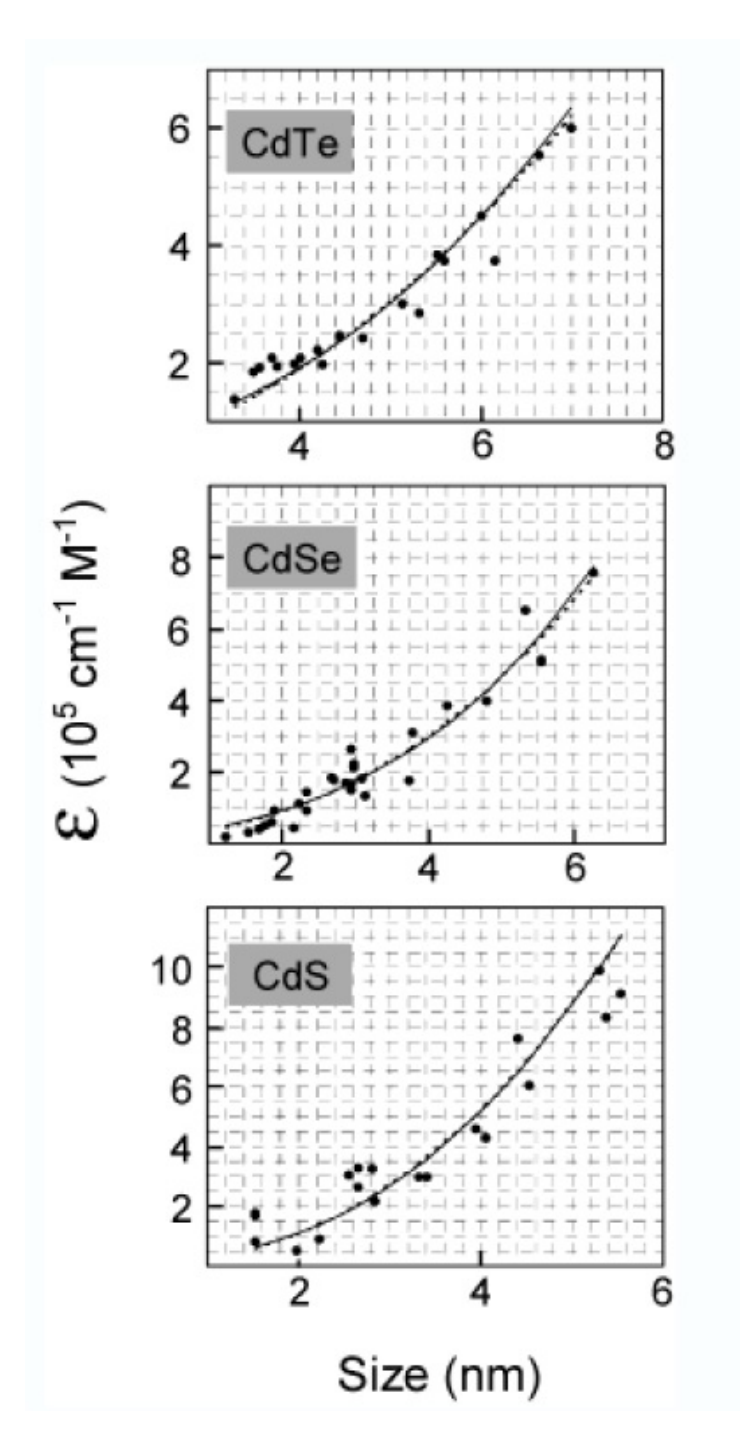
Термин «квантовая точка» впервые был введен в 1988 году Марком Ридом из компании Texas Instruments в статье

КВАНТОВО-РАЗМЕРНЫЙ ЭФФЕКТ

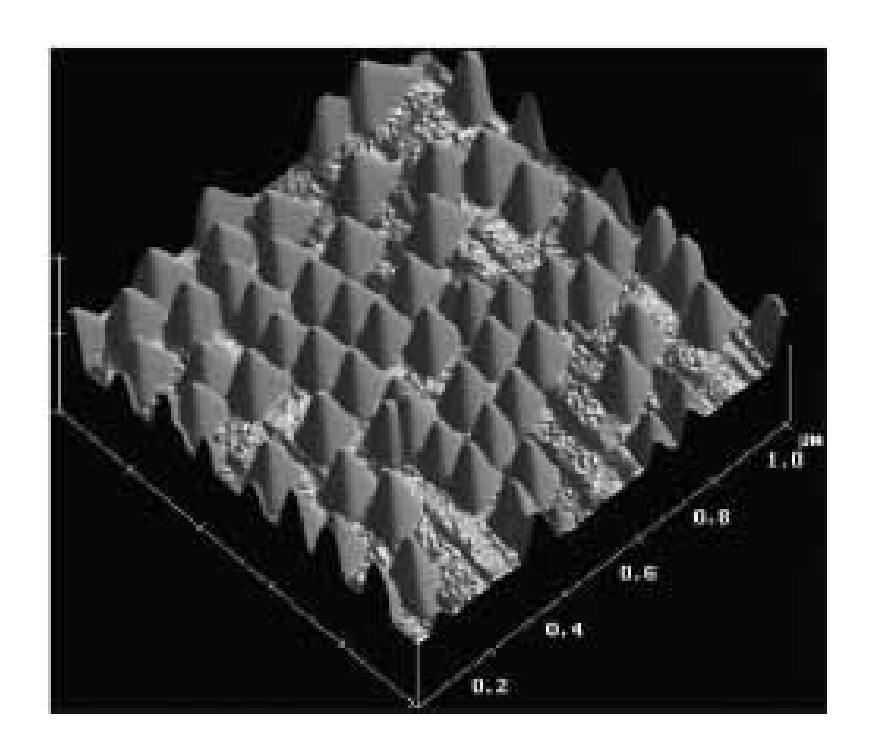






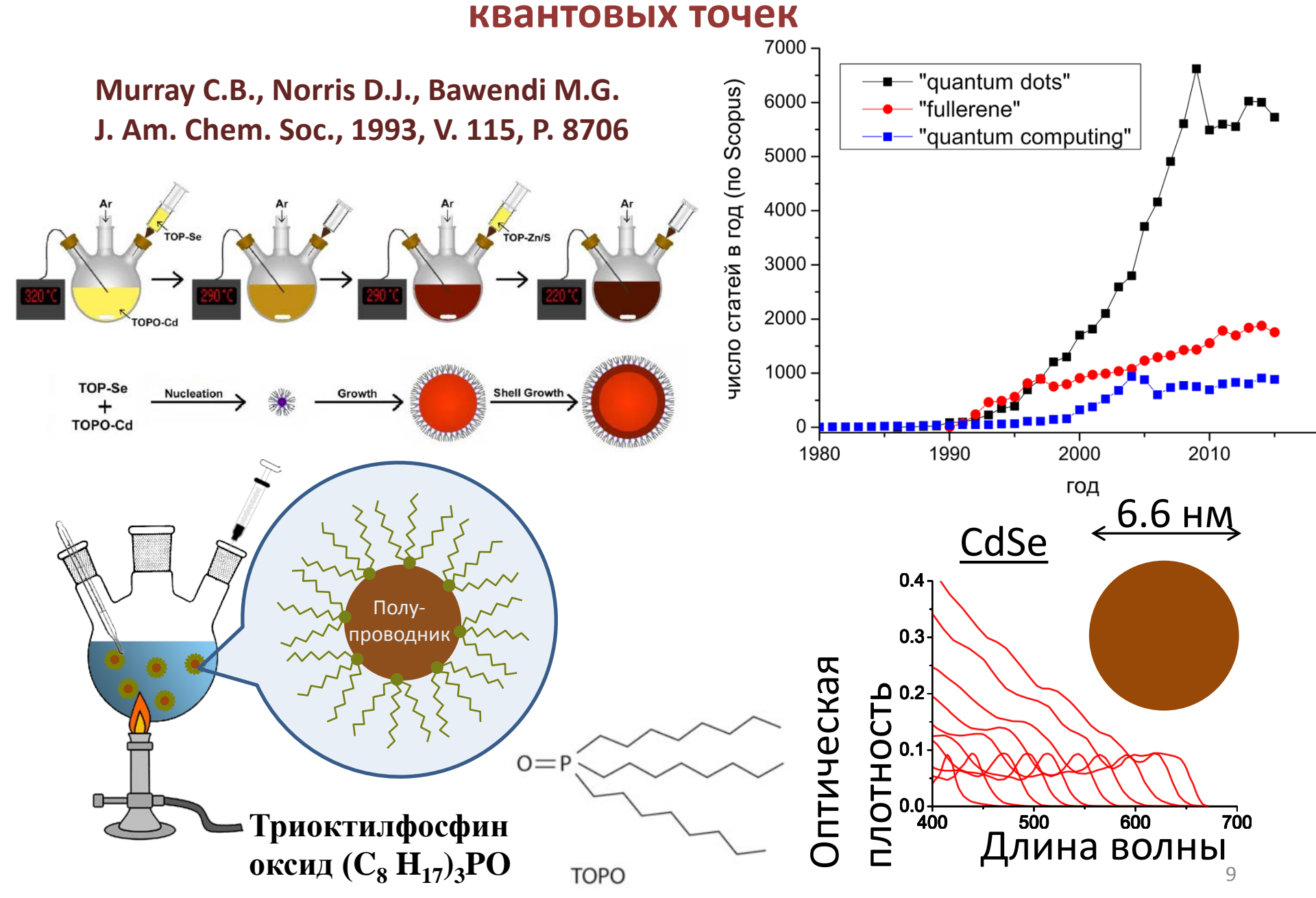


Молекулярно-пучковая эпитаксия.

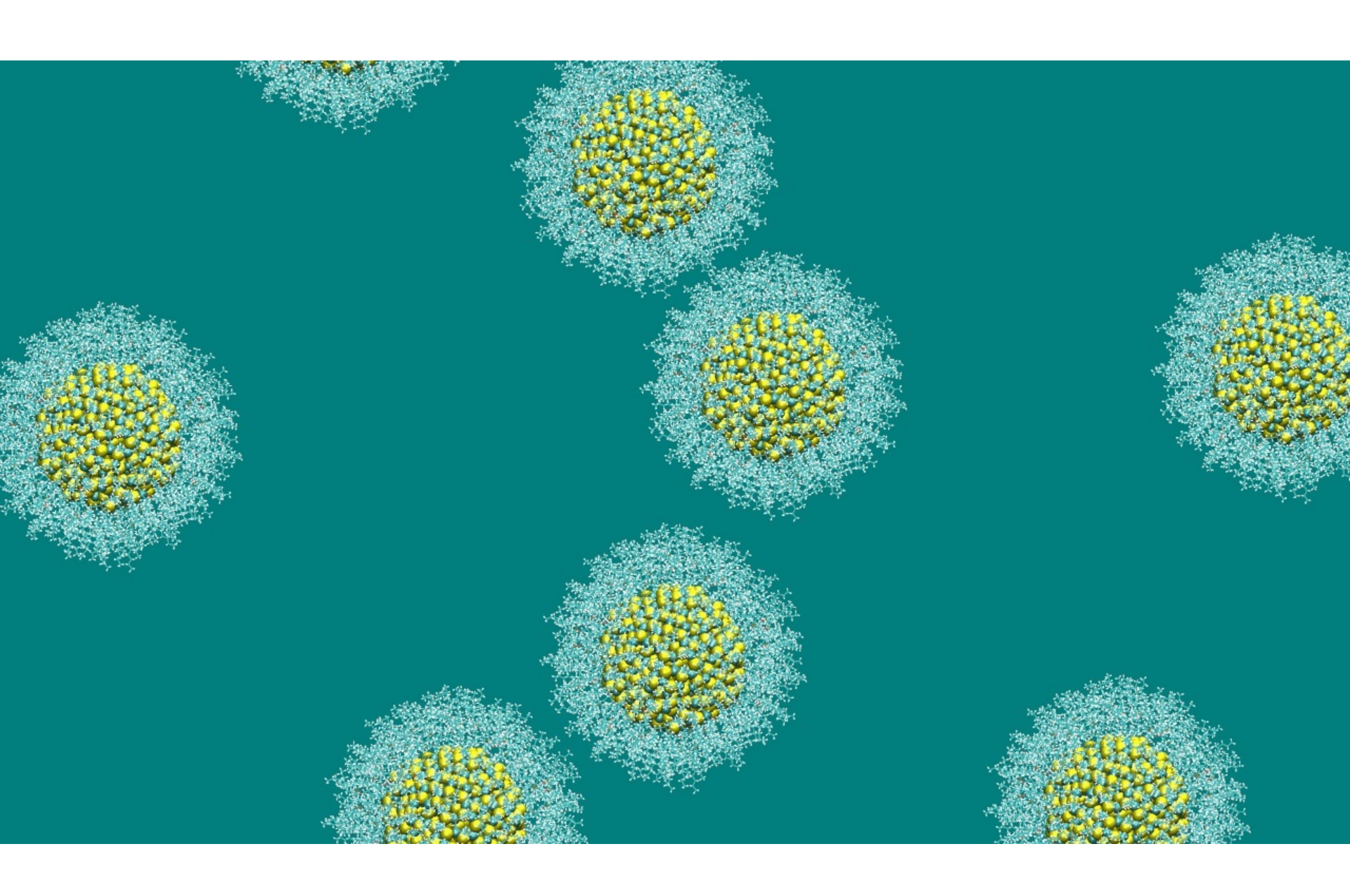


В системе PbSe/PbTe удалось вырастить пирамидки PbSe на поверхности слоя PbTe, для которых среднее отклонение размеров составляет примерно 2 %, что на сегодняшний день является рекордным результатом.

Метод высокотемпературного коллоидные синтеза



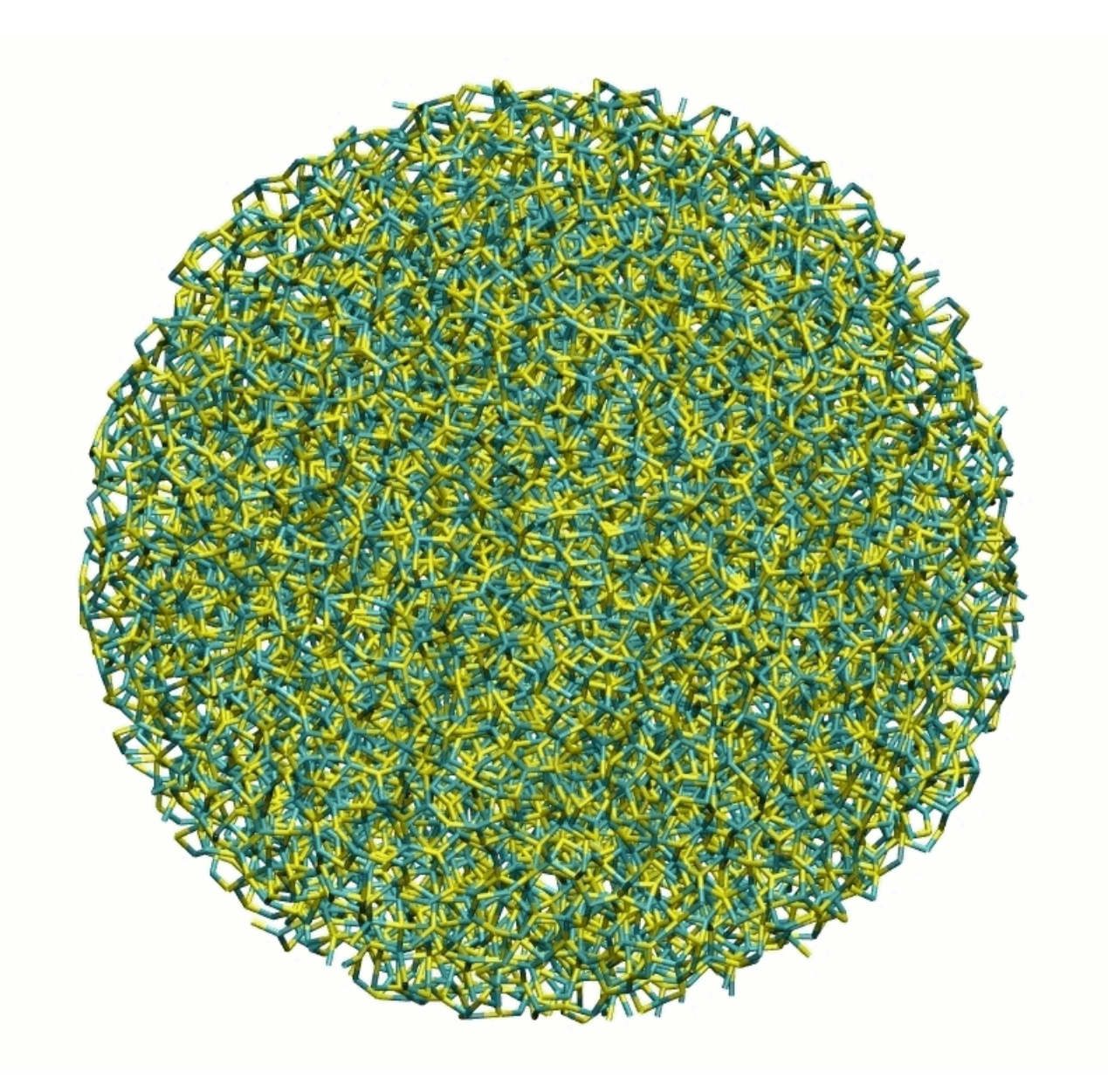
КВАНТОВЫЕ ТОЧКИ CdSe d=3 нм С ЛИГАНДНОЙ ОБОЛОЧКОЙ ТОРО-ТОР В ХЛОРОФОРМЕ

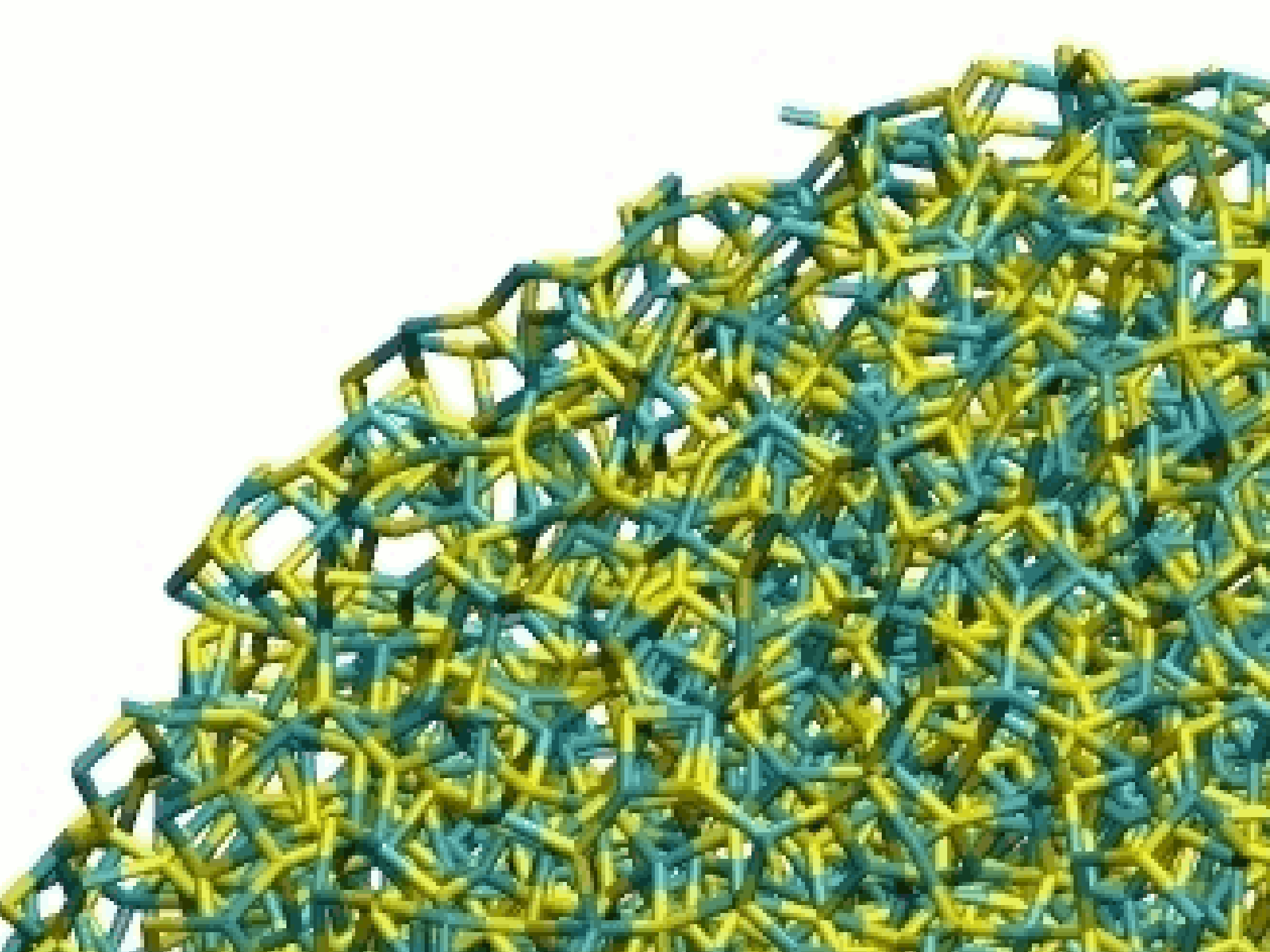


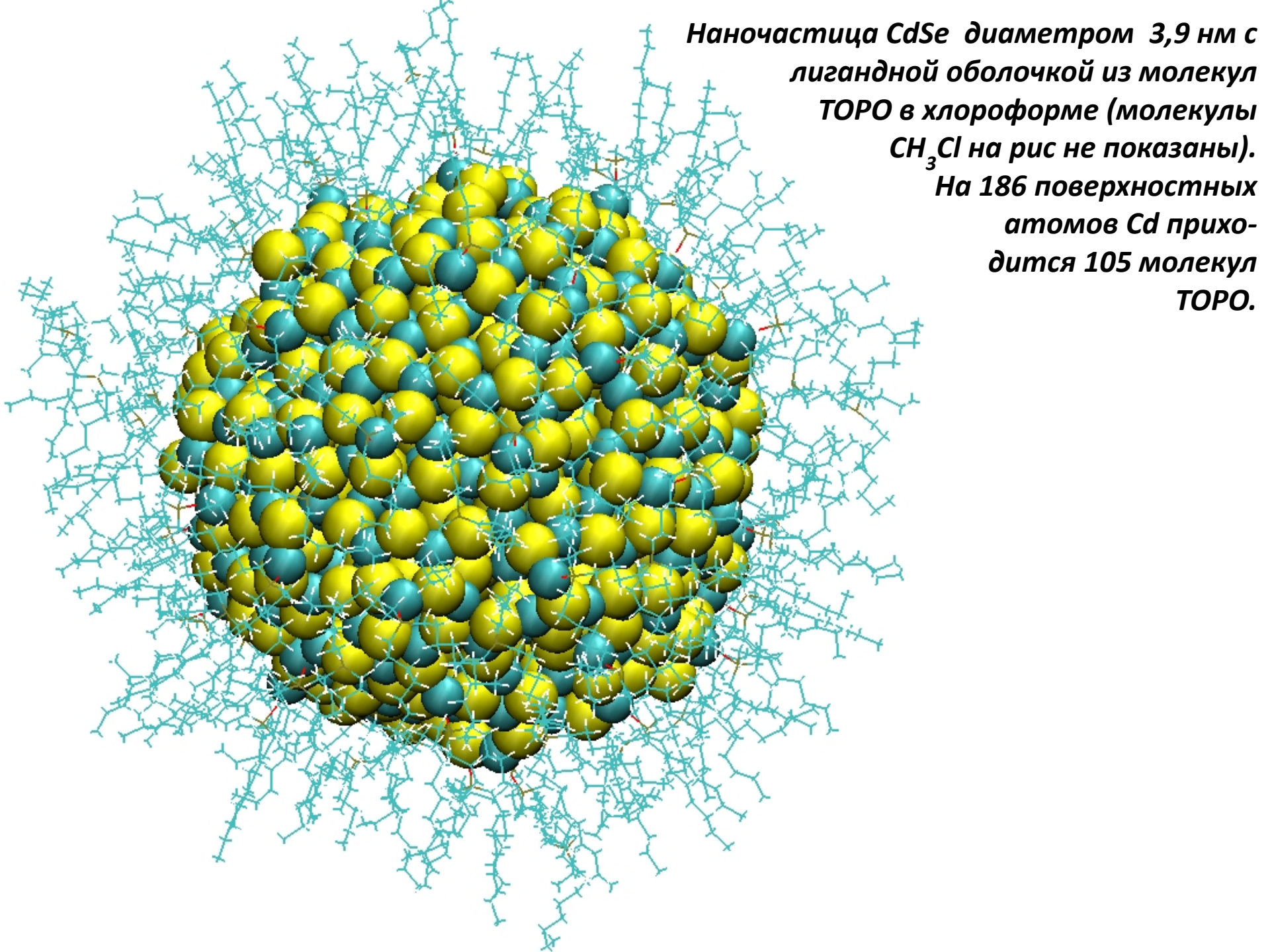
Компьютерное моделирование методом молекулярной динамики наночастицы CdSe, состоящей из 998 атомов.



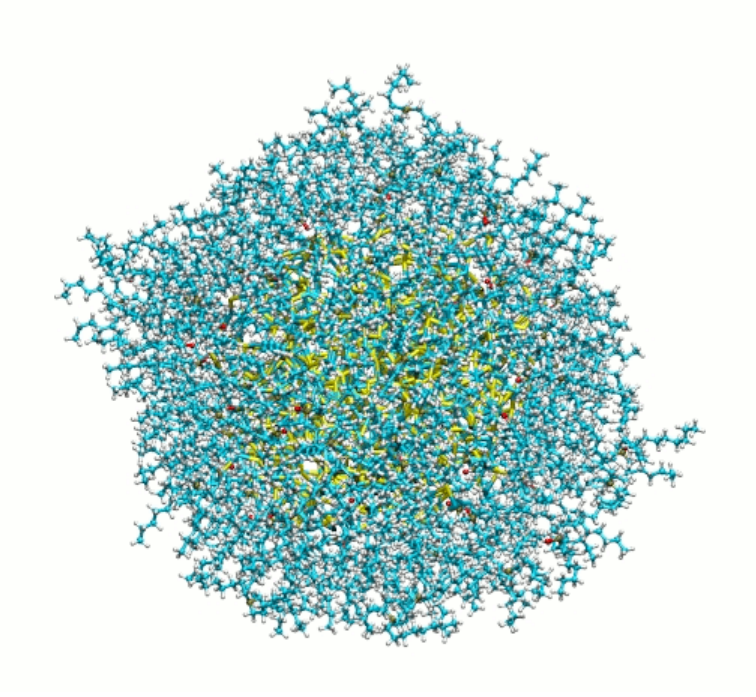
Диаметр наночастицы – 9 нм, состоящей из 6011 молекул CdSe

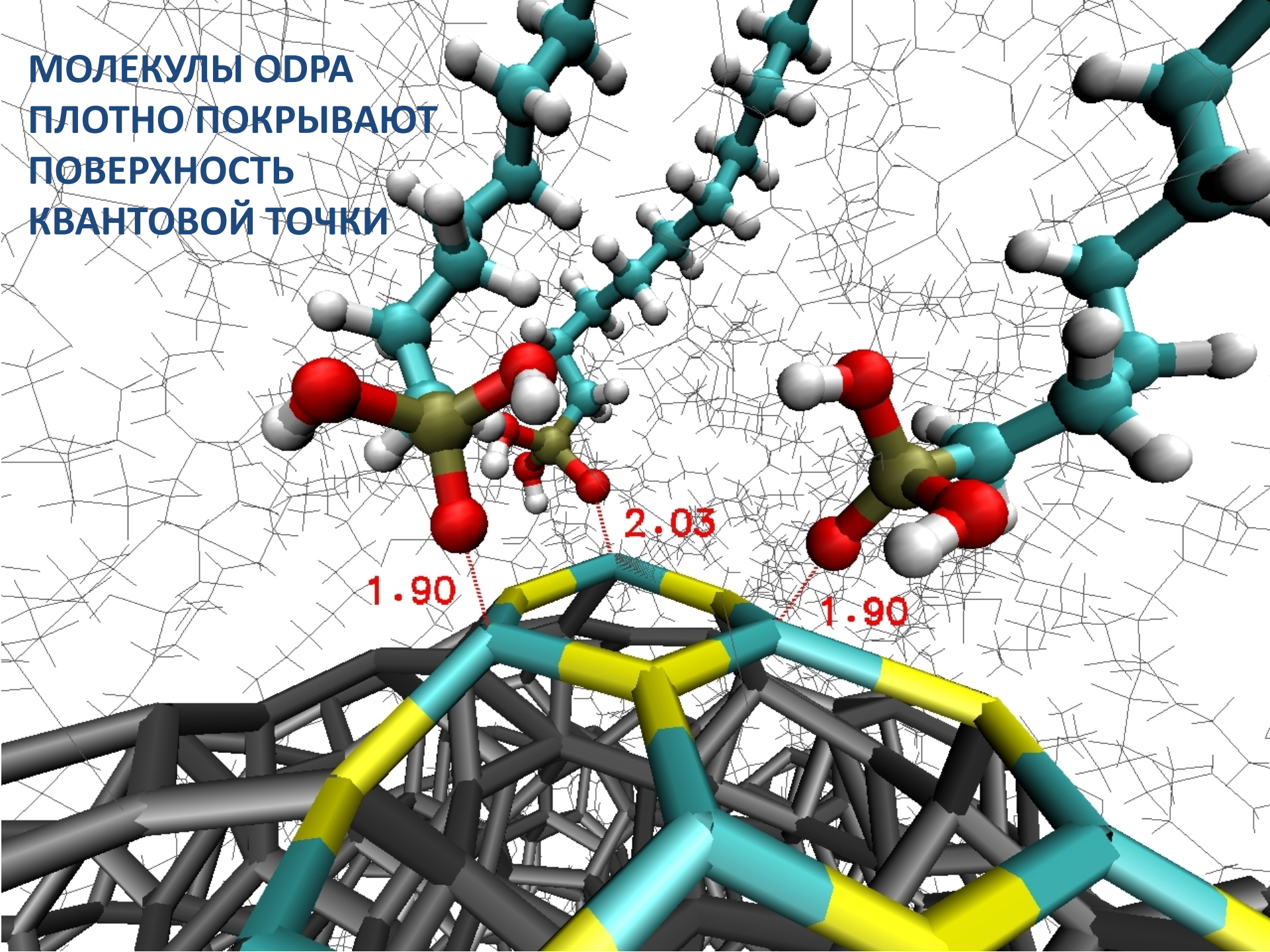




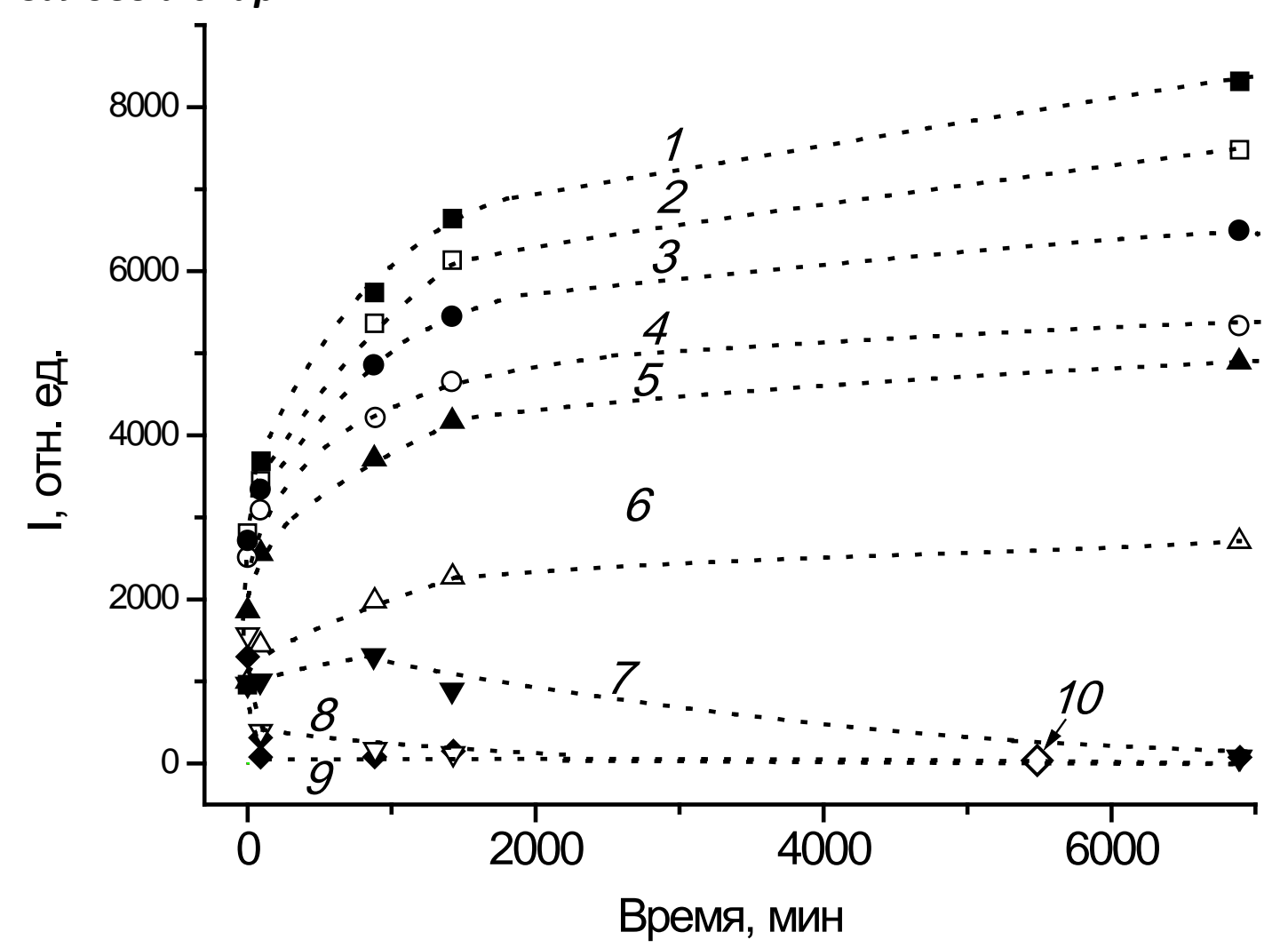


МОЛЕКУЛЫ ТОРО ПОКРЫВАЮТ 20 – 25% ПОВЕРХНОСТИ КВАНТОВОЙ ТОЧКИ ДИАМЕТРОМ 9 нм



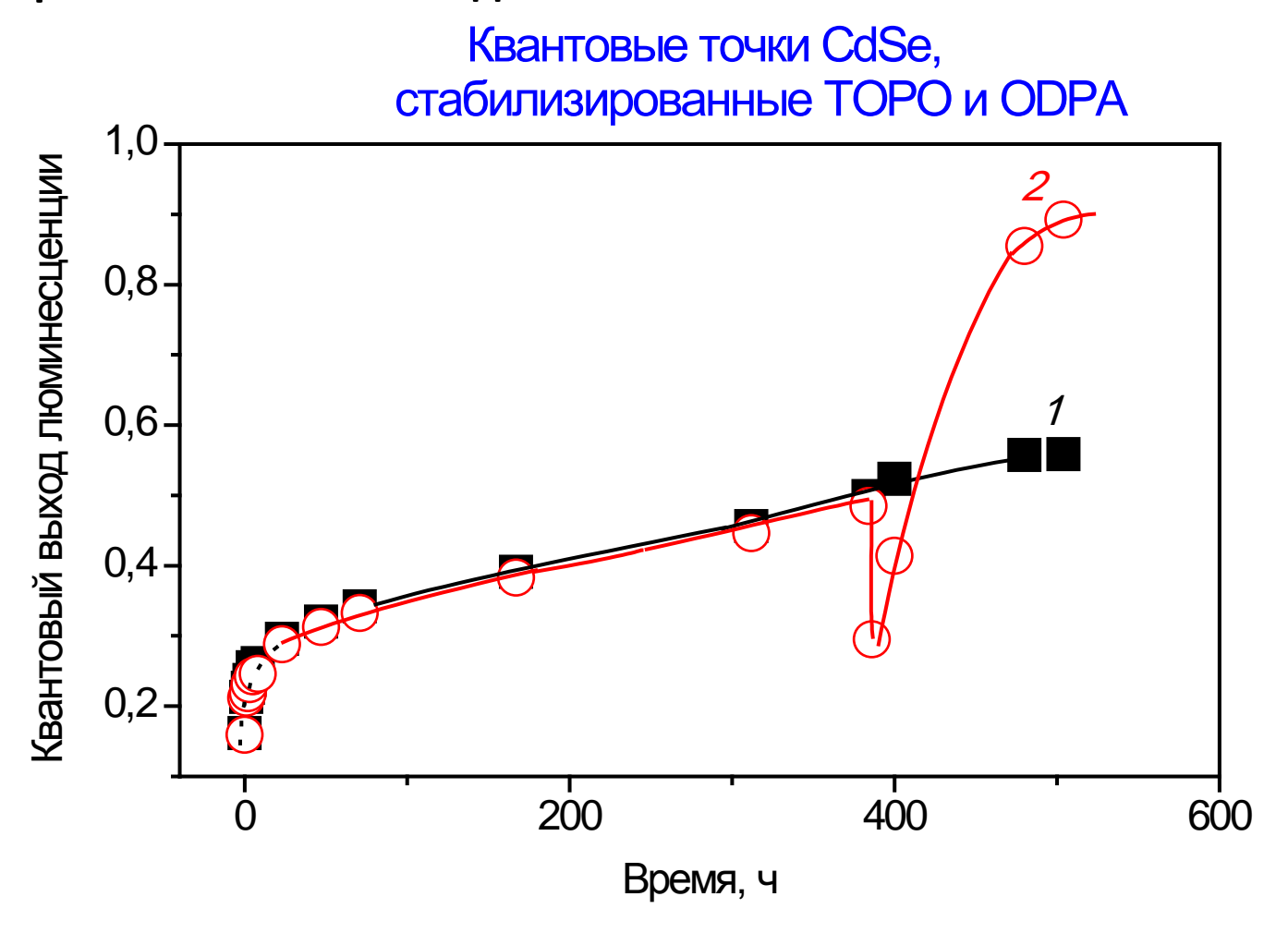


Влияние добавок различных растворителей на интенсивность люминесценции KT CdSe, с лигандной оболочкой ODPA и TOPO, растворенных в хлороформе: 1-опорный раствор KT в хлороформе; 2 – ацетон; 3 – ацетонитрил; 4 – 1-бутанол: 5 – изопропанол; 6 – метанол; 7 – пиридин; 8 – этанол ректификат; 9 – этанол абсолют; 10 – бензиловый спирт.



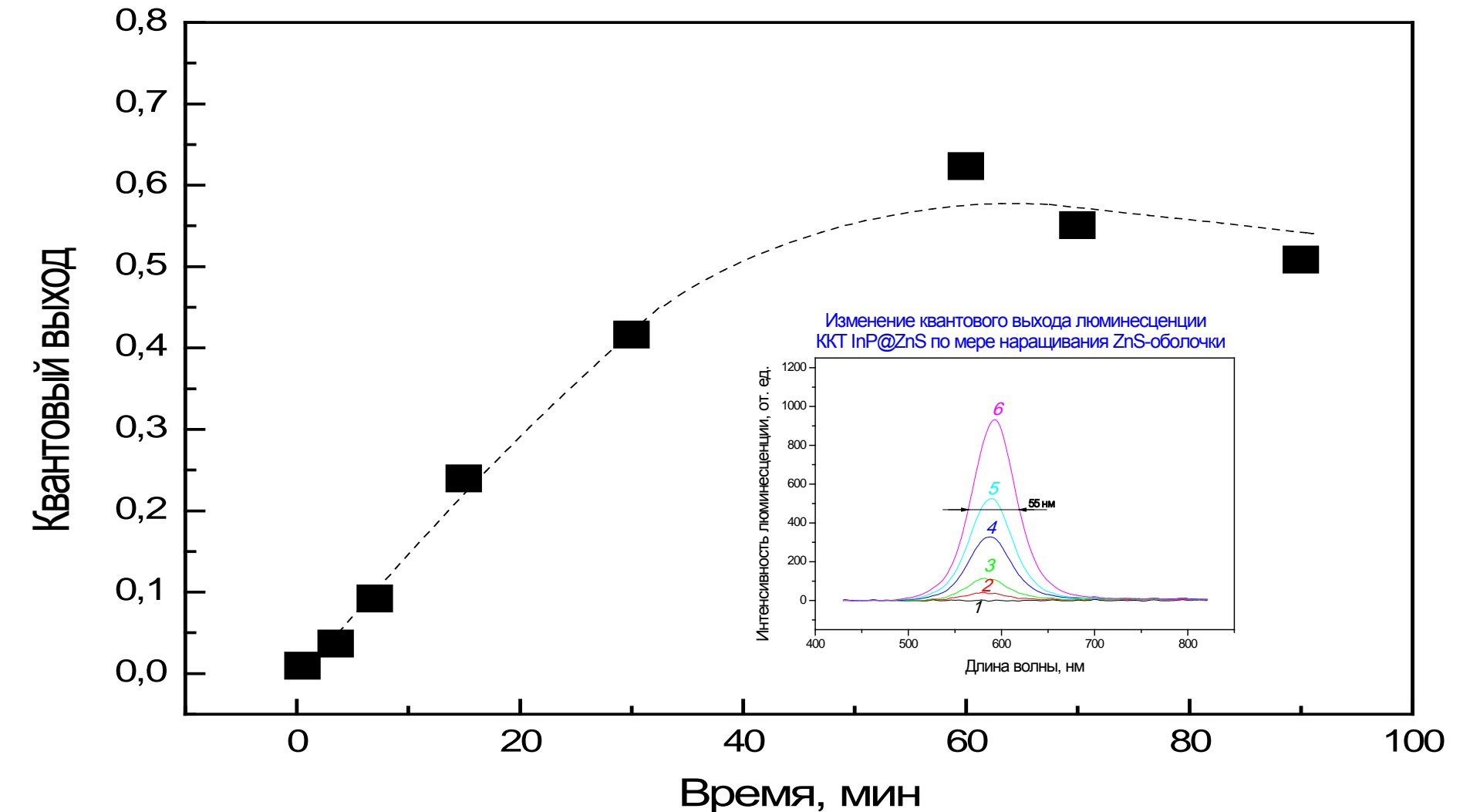
М.Г. Спирин, С.Б. Бричкин, В.Ф. Разумов. ХВЭ, 2015, №6, (в печати)

Сочетание темнового созревания и термического воздействия на ККТ позволило увеличить квантовый выход люминесценции на порядок до очень высокой величины — 0,9, рекордной для ККТ, стабилизированных только органическими лигандами.



Частицы выдерживались в диспергированном состоянии в течение 16 суток при обычных условиях с последующим прогревом смеси в течение 2 ч при 55 С

Разработана методика синтеза нетоксичных ККТ InP@ZnS, с ф = 0.6, узким распределением по размерам, и плавной перестройкой спектра люминесценции в диапазоне 500-600 нм. Получаемые ККТ устойчивы к воздействию света и сохраняют свои характеристики при длительном (месяцы) хранении даже в растворе.



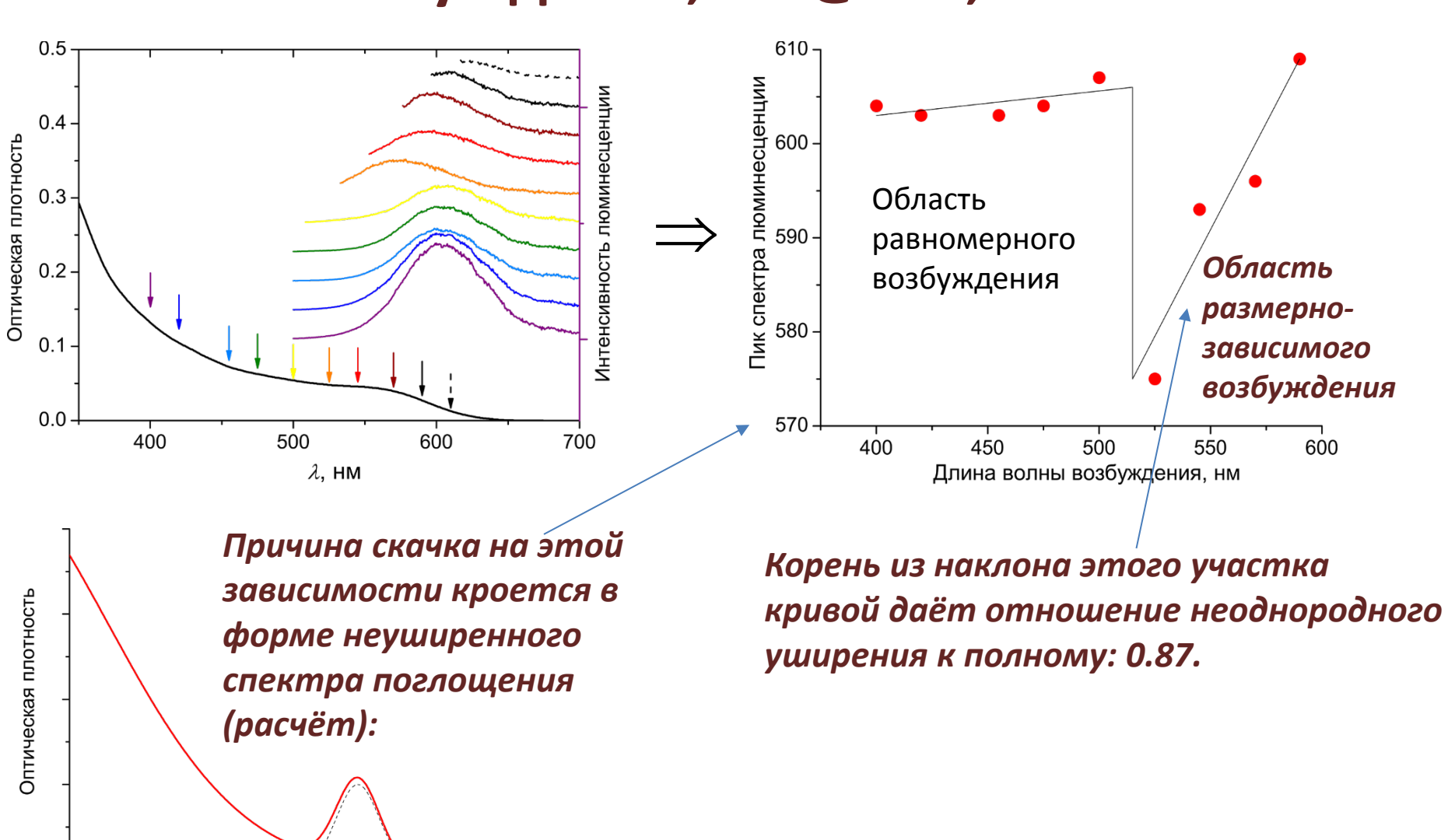
КОЛЛОИДНЫЕ КВАНТОВЫЕ ТОЧКИ – НОВЫЙ КЛАСС ЛЮМИНОФОРОВ

- 1. КВАНТОВО-РАЗМЕРНЫЙ ЭФФЕКТ
- 2. МЕТОДЫ СИНТЕЗА И АКТИВАЦИИ ЛЮМИНЕСЦЕНЦИИ
- 3. СТРУКТУРА КВАНТОВЫХ ТОЧЕК И ИХ ЛИГАНДНОЙ ОБОЛОЧКИ
- 4. ЗАКОНЫ ЛЮМИНЕСЦЕНЦИИ ДЛЯ КВАНТОВЫХ ТОЧЕК?

ЗАВИСИМОСТЬ ЛЮМИНЕСЦЕНЦИИ ОТ ДЛИНЫ ВОЛНЫ ВОЗБУДАЮЩЕГО СВЕТА СООТНОШЕНИЕ КЕННАРДА-СТЕПАНОВА И ЗАКОН ВАВИЛОВА-ЛЁВШИНА «МЕРЦАЮЩАЯ» ЛЮМИНЕСЦЕНЦИЯ МНОГОЭКСПОНЕНЦИАЛЬНАЯ КИНЕТИКА ЛЮМИНЕСЦЕНЦИИ МНОГОЭКСИТОННАЯ ГЕНЕРАЦИЯ

- 5. КЛАСТЕРЫ КВАНТОВЫХ ТОЧЕК
- 6. ПРИЛОЖЕНИЯ И ЗАКЛЮЧЕНИЕ

Зависимость люминесценции от длины волны возбуждения, InP@ZnS, 3 нм

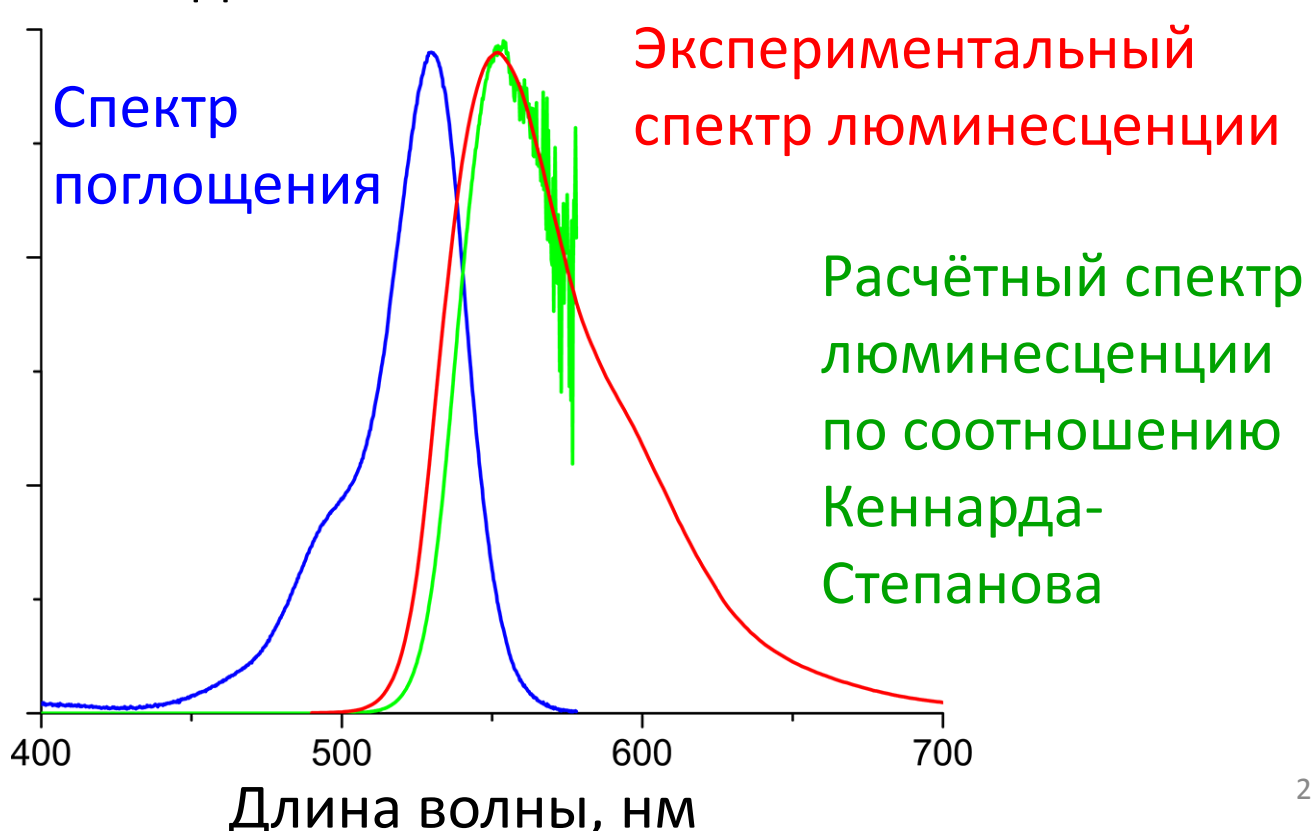


Длина волны, нм

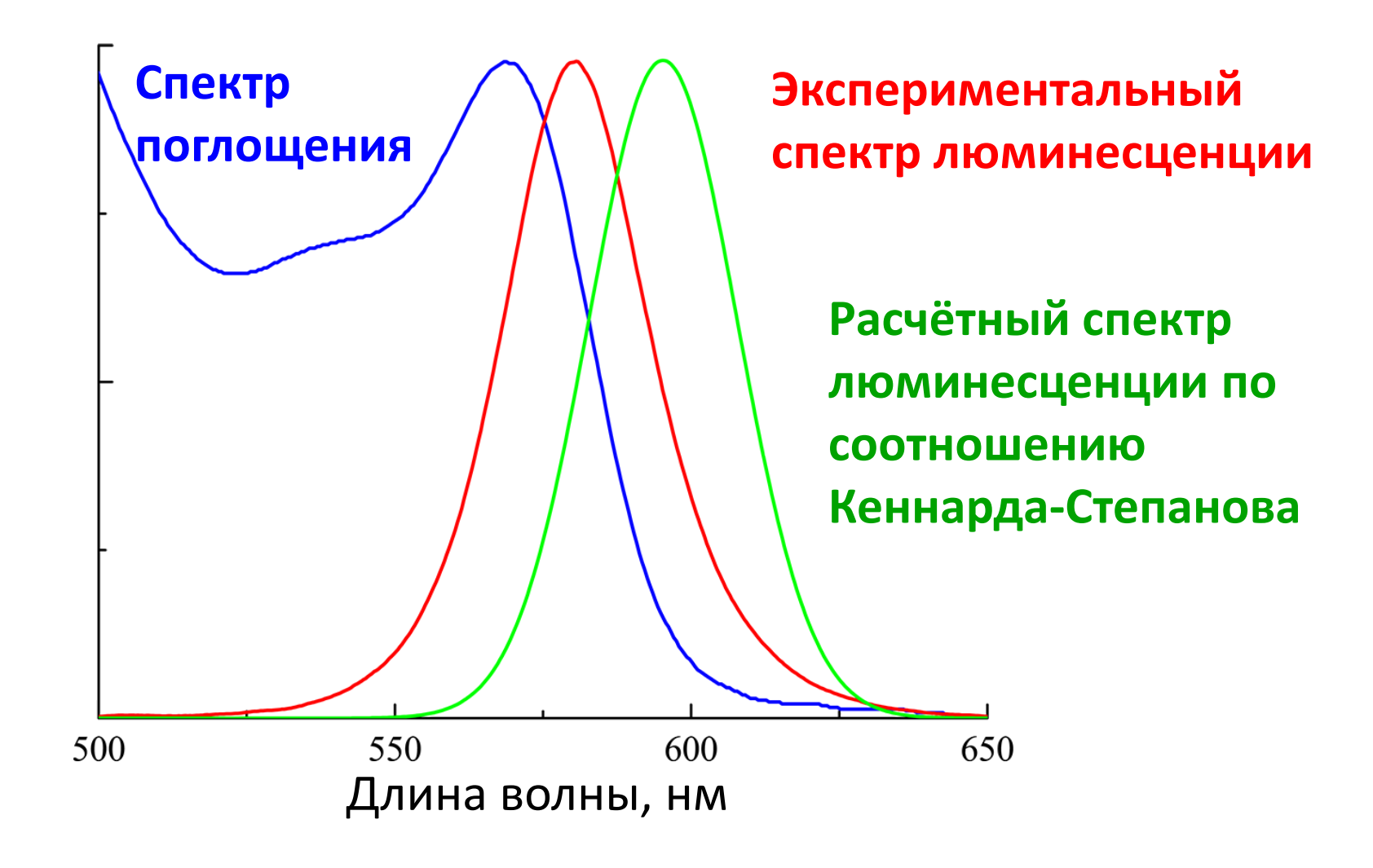
Соотношение Кеннарда-Степанова-Росбрука-Шокли в основе которого положен фундаментальный закон Киргофа

Спектр люминесценции ~ Спектр чёрного тела Спектр поглощения

Родамин 6Ж в этаноле:

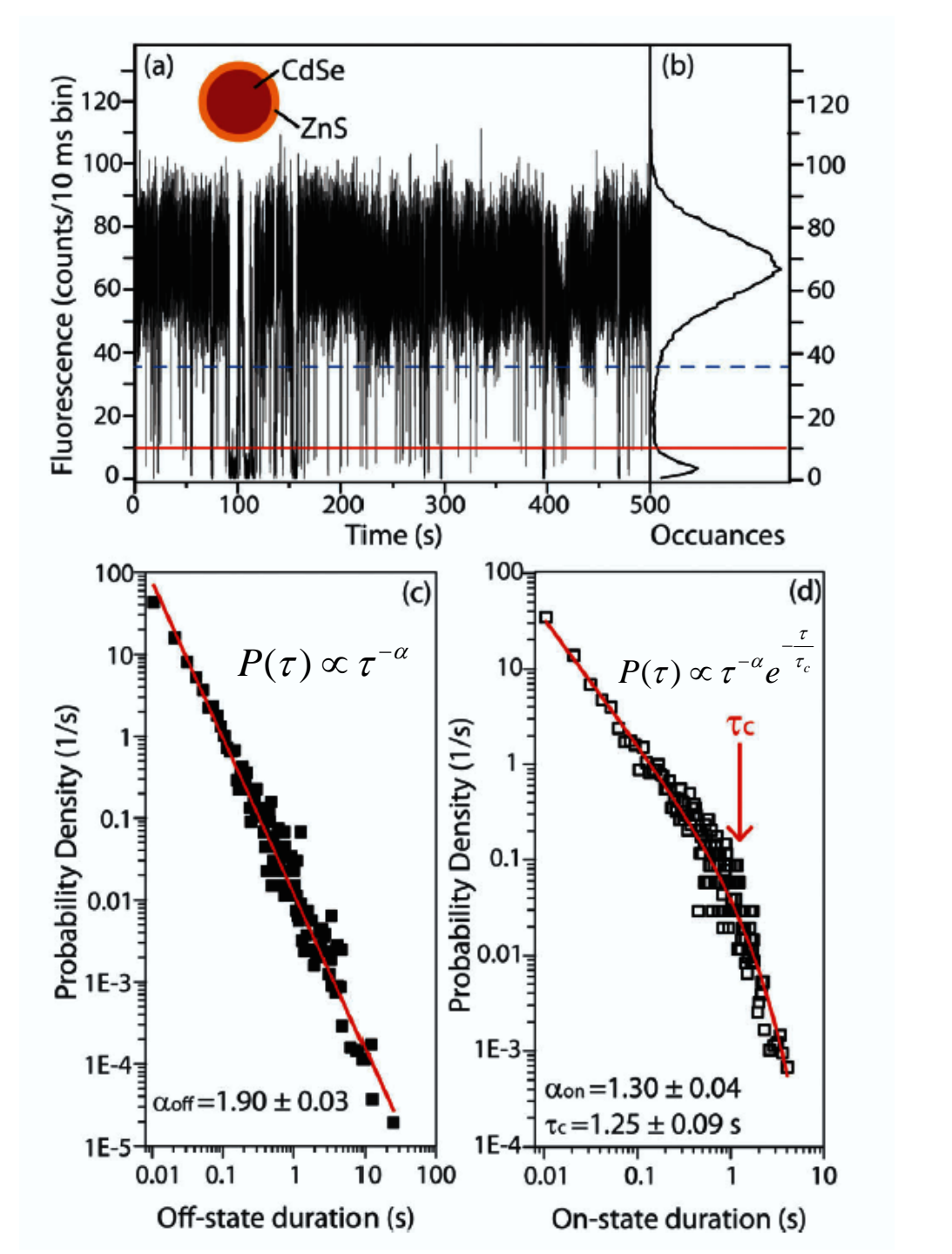


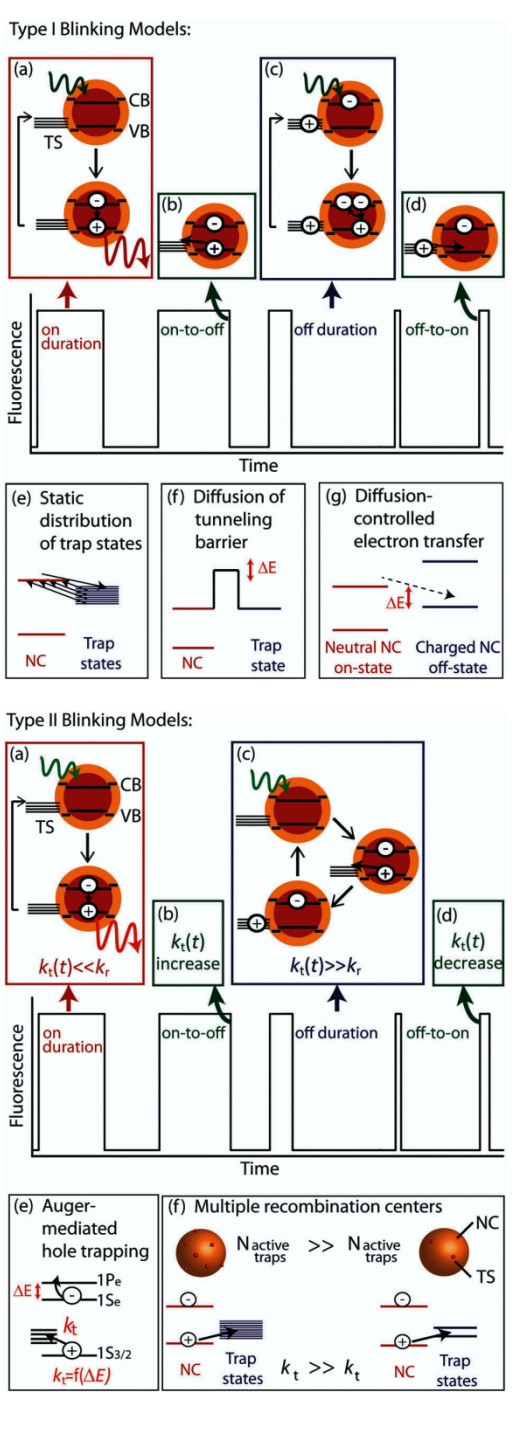
Неоднородное уширение: наночастицы CdSe



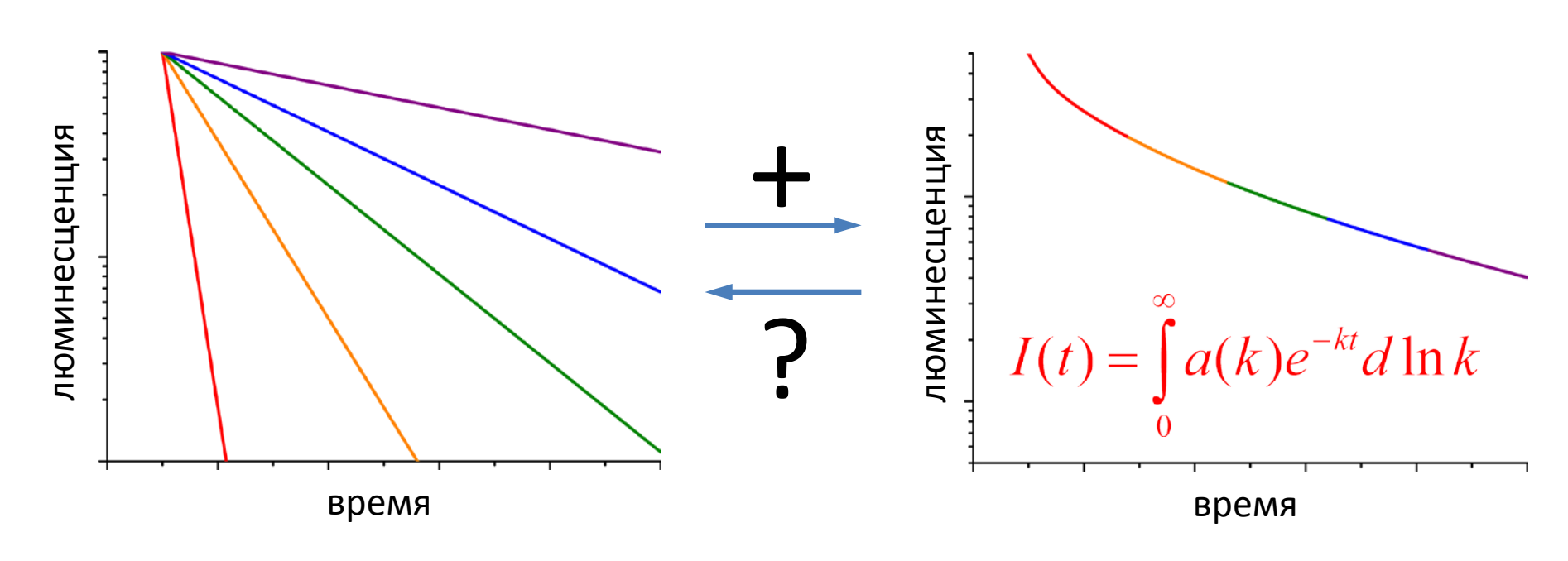
Мерцающая флуоресценция (блинкинг) «Зона» проводимости Валентная Ловушечные состояния

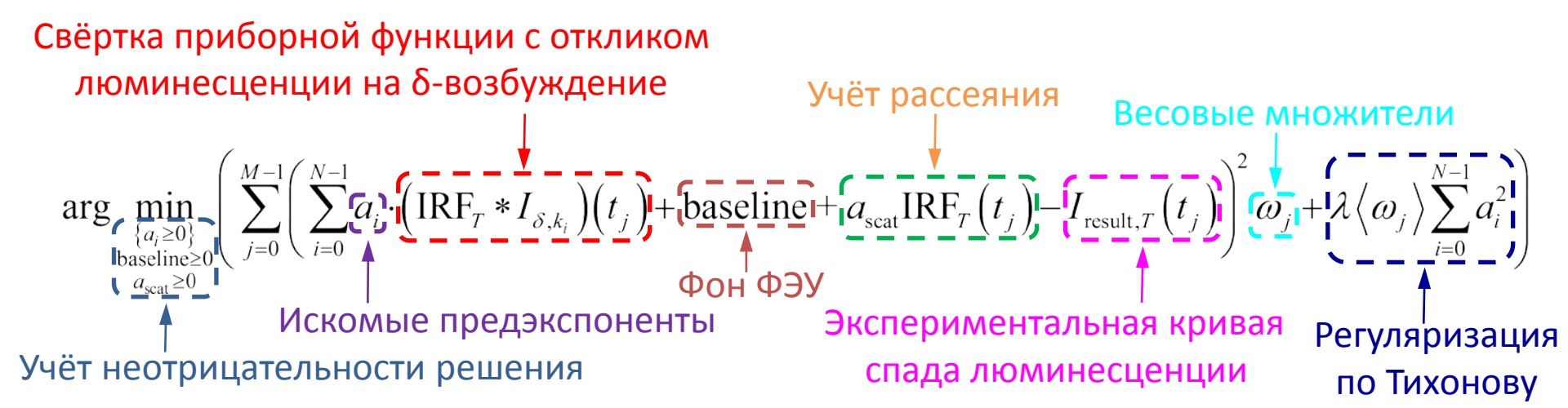
Состопнеровори предостини предости предостини предостини предостини предостини предостини предости





Мультиэкспоненциальная кинетика: обратная задача





Доверительные интервалы для решения обратной задачи

Задача в общем виде:



Важен доверительный интервал не просто для компонент вектора x, но для произвольной линейной формы от них:

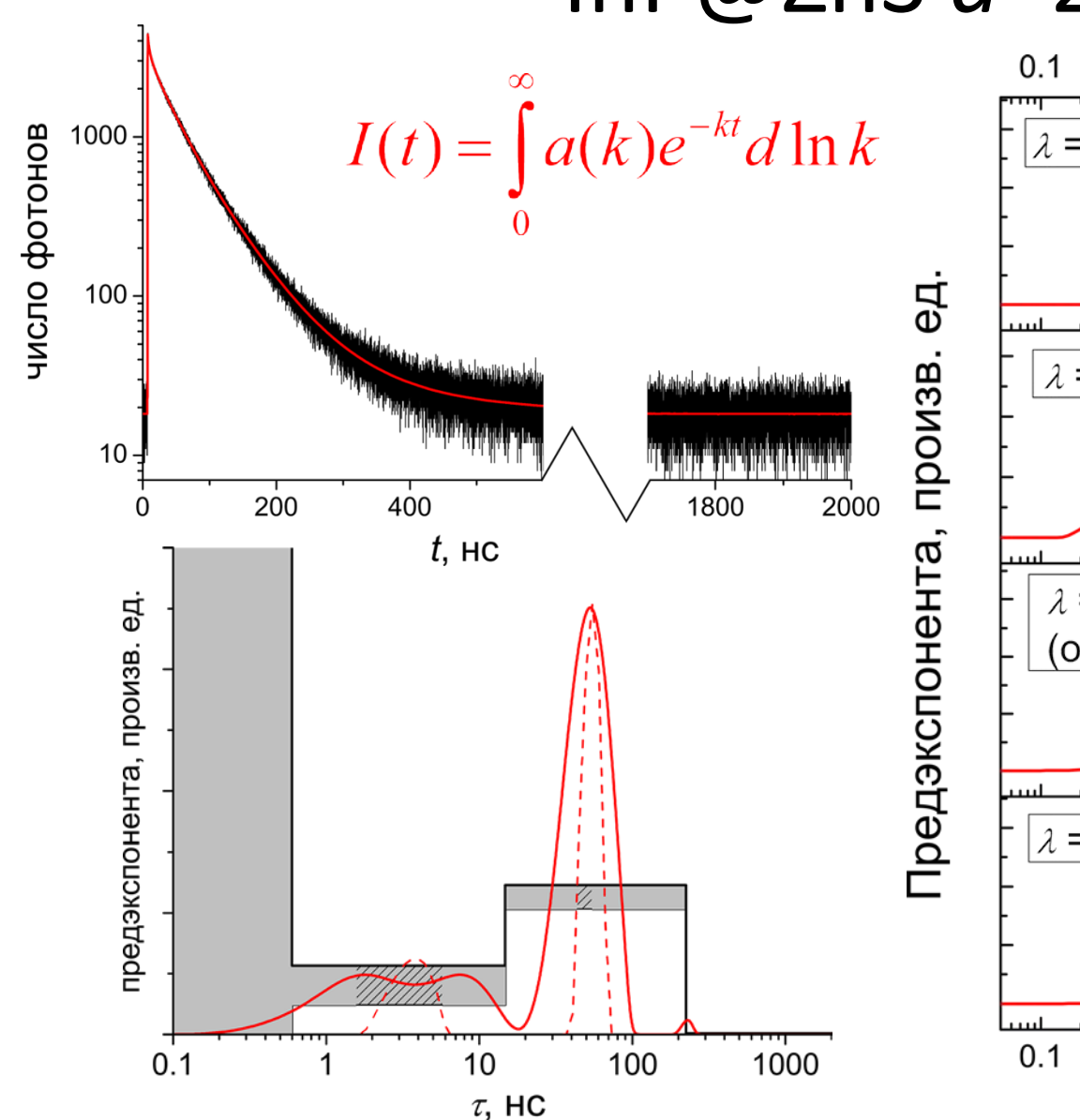
$$\varphi = \vec{w} \cdot \vec{x}$$

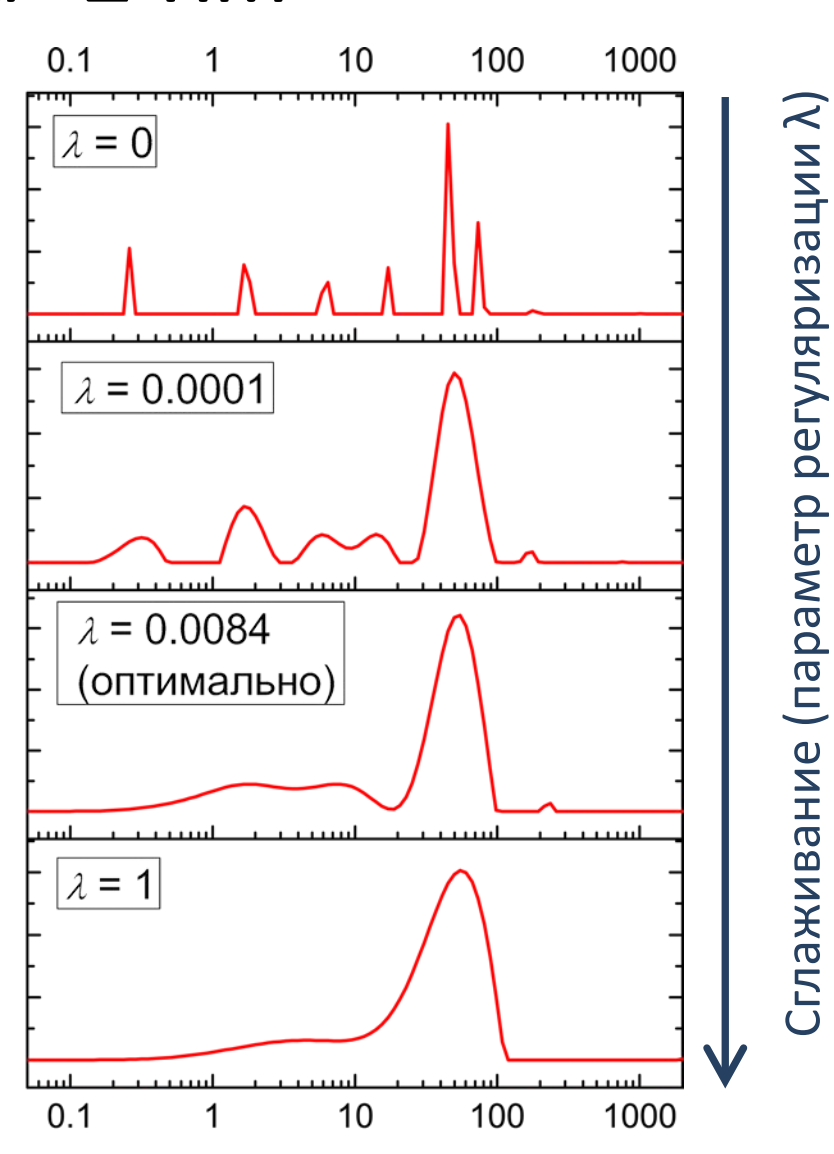
(например, подбором вектора *w* можно симулировать сглаженное решение или средние от него)

Решение дано в работе:

O'Leary D.P., Rust B.W. Confidence intervals for inequality-constrained least squares problems, with applications to ill-posed problems // SIAM J. Sci. Stat. Comput. 1986, V. 7, P. 473.

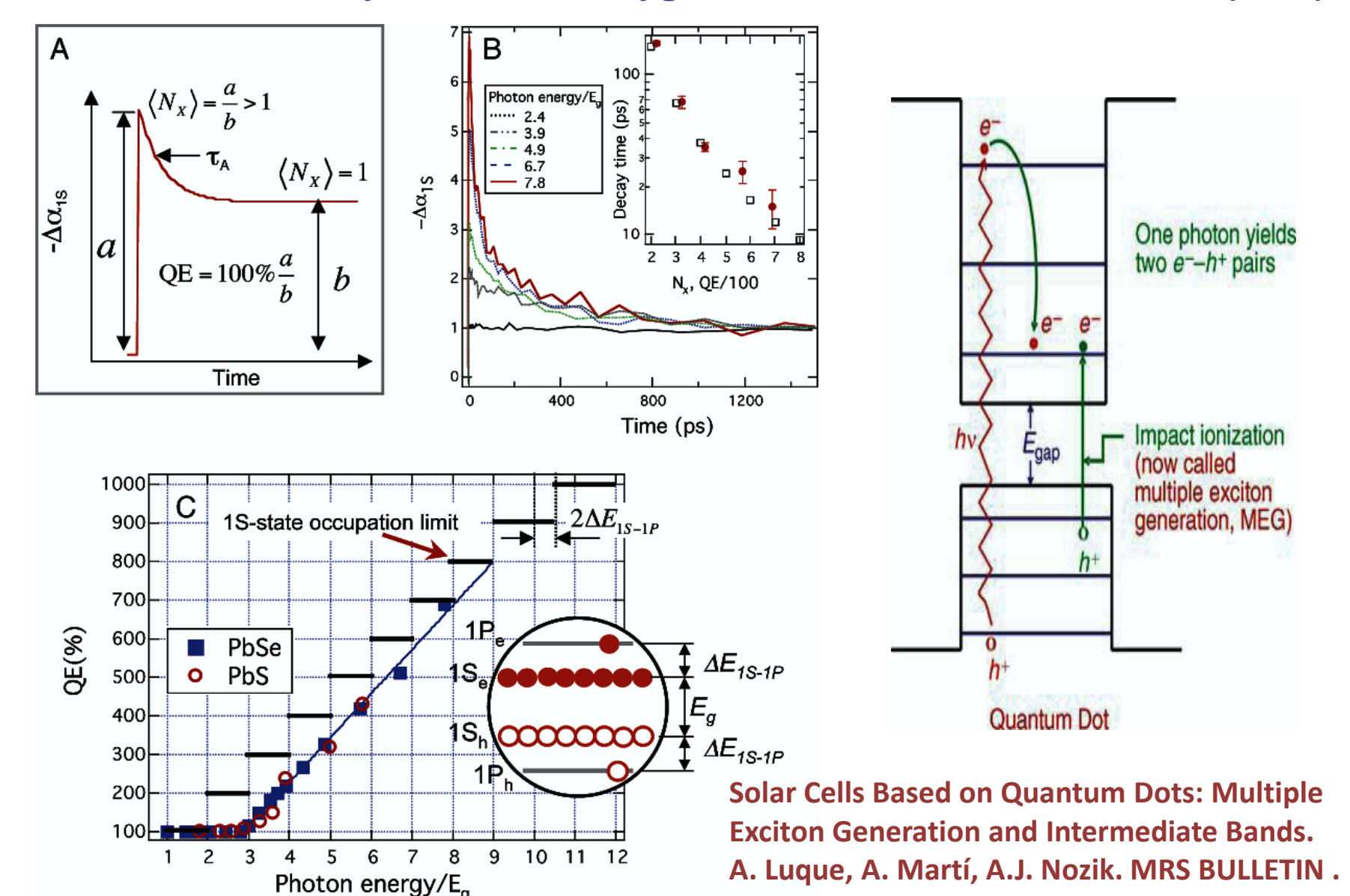
Кинетика люминесценции наночастиц InP@ZnS d=2 нм





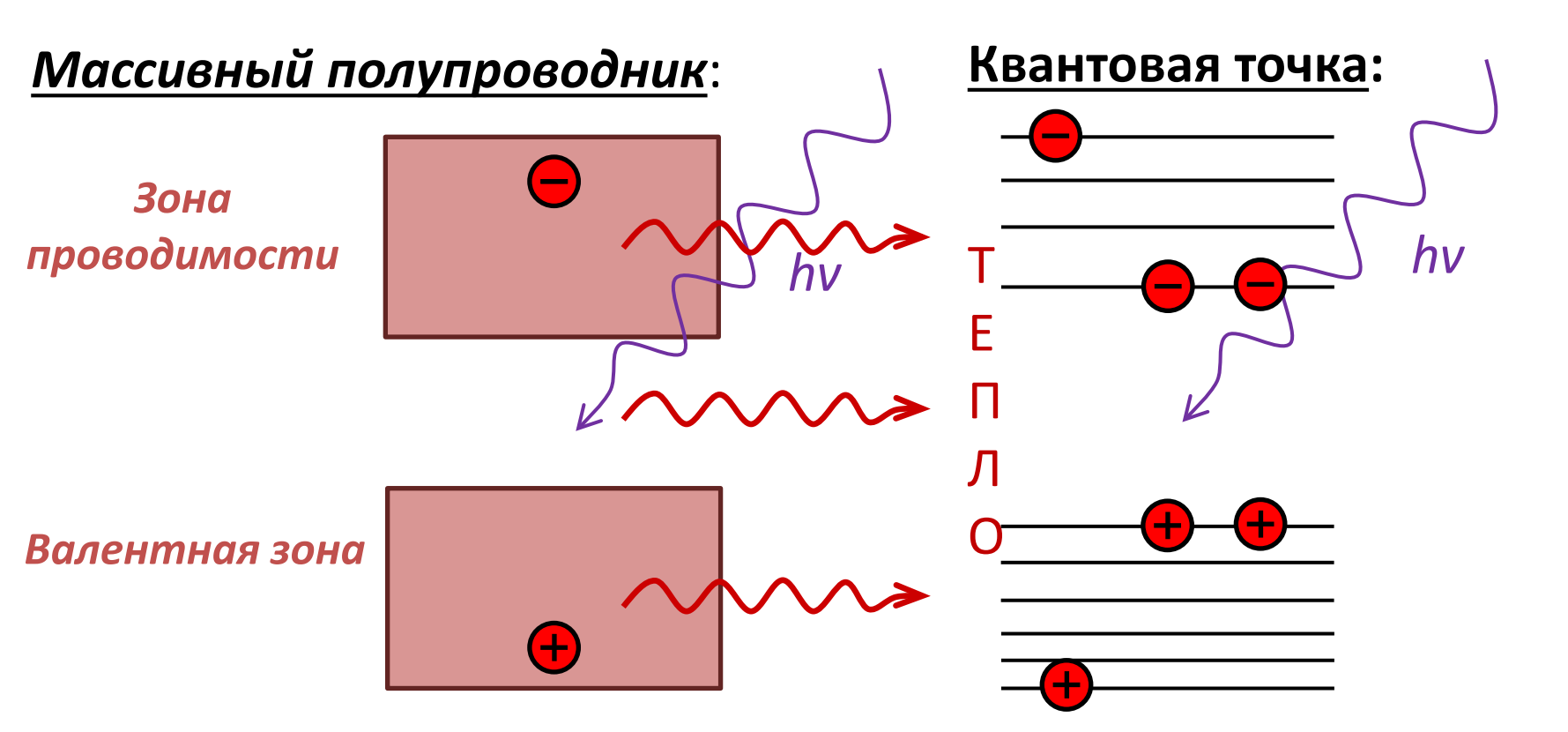
 τ , HC

Seven Excitons at a Cost of One: Redefining the Limits for Conversion Efficiency of Photons into Charge Carriers R.D. Schaller, M. Sykora, J.M. Pietryga, V.I. Klimov. *Nano Lett.*, 6, 424 (2006)



V 32, 2007, P 236.

Многоэкситонная генерация



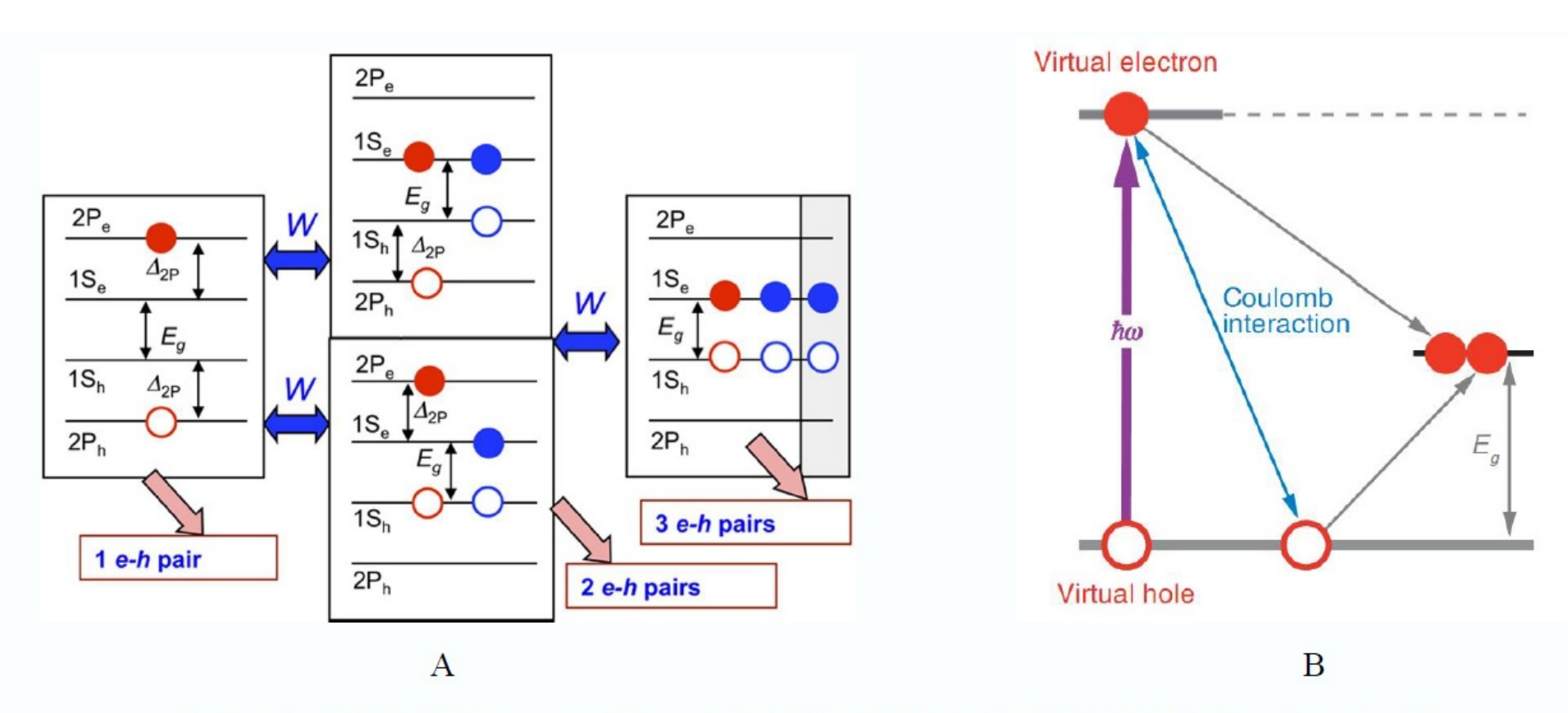


Figure 3. A: Coherent superposition model. B: excitation via virtual excitonic states model.

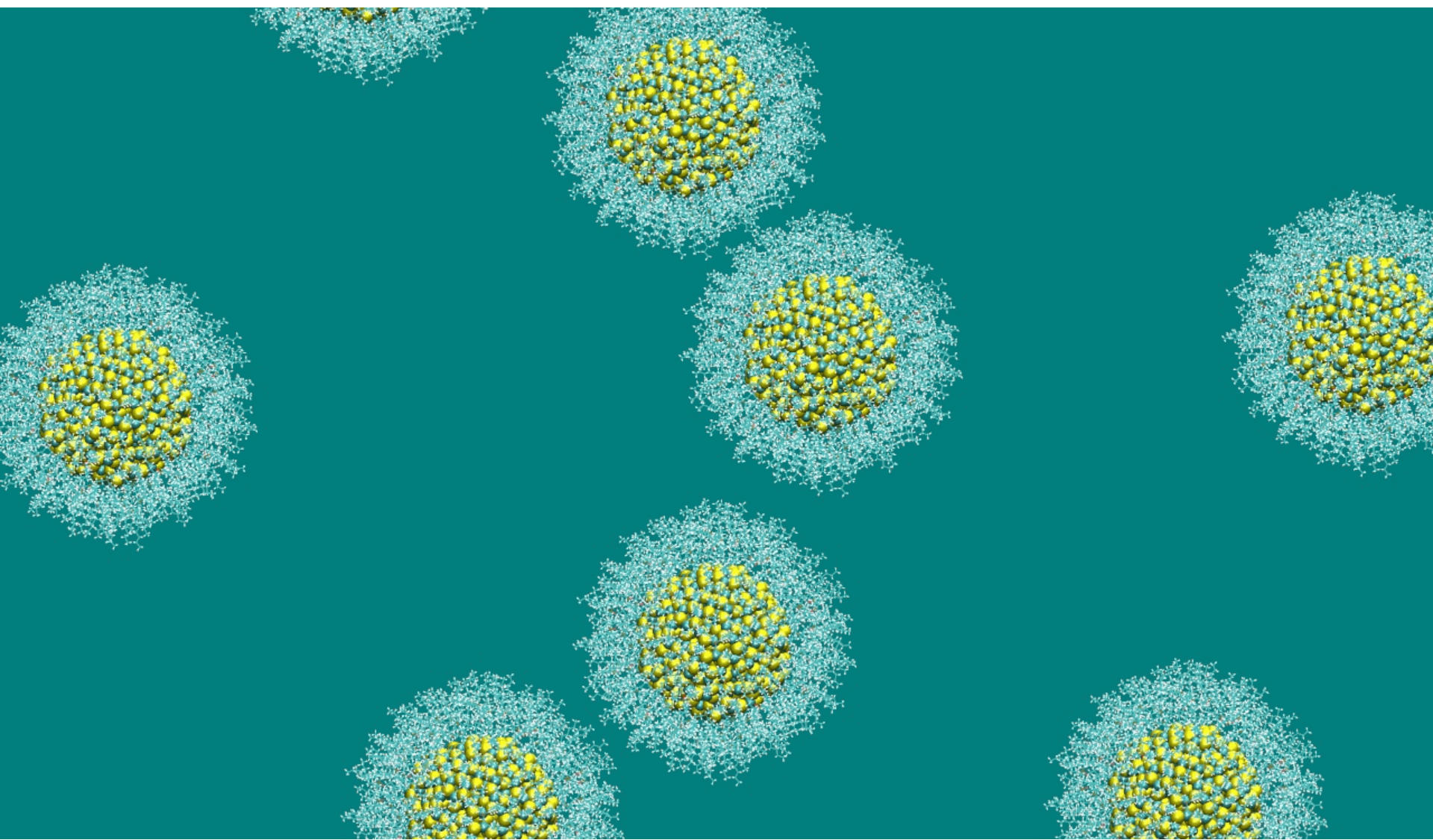
КОЛЛОИДНЫЕ КВАНТОВЫЕ ТОЧКИ – НОВЫЙ КЛАСС ЛЮМИНОФОРОВ

- 1. КВАНТОВО-РАЗМЕРНЫЙ ЭФФЕКТ
- 2. МЕТОДЫ СИНТЕЗА И АКТИВАЦИИ ЛЮМИНЕСЦЕНЦИИ
- 3. СТРУКТУРА КВАНТОВЫХ ТОЧЕК И ИХ ЛИГАНДНОЙ ОБОЛОЧКИ
- 4. ЗАКОНЫ ЛЮМИНЕСЦЕНЦИИ ДЛЯ КВАНТОВЫХ ТОЧЕК?

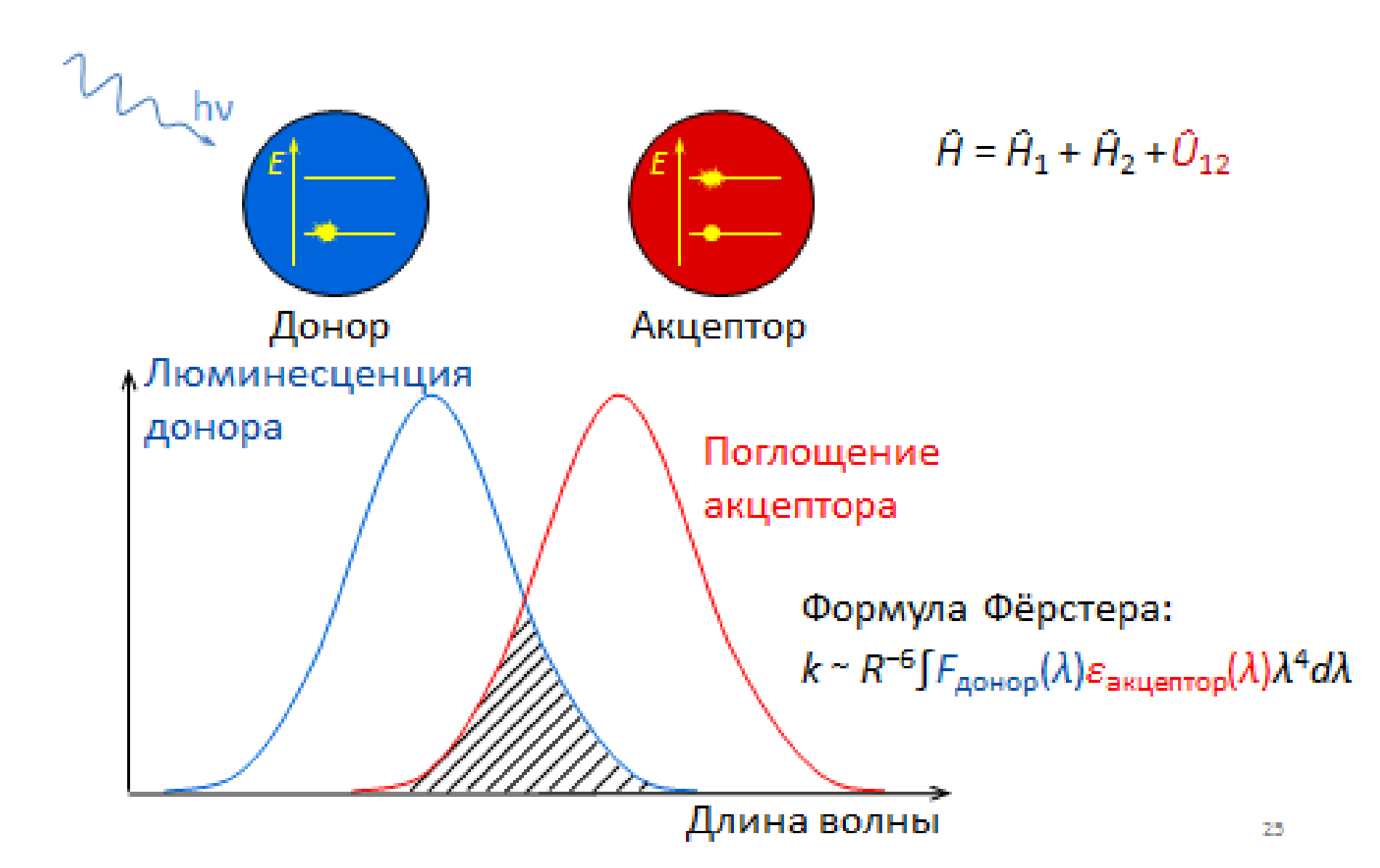
ЗАВИСИМОСТЬ ЛЮМИНЕСЦЕНЦИИ ОТ ДЛИНЫ ВОЛНЫ ВОЗБУДАЮЩЕГО СВЕТА СООТНОШЕНИЕ КЕННАРДА-СТЕПАНОВА И ЗАКОН ВАВИЛОВА-ЛЁВШИНА «МЕРЦАЮЩАЯ» ЛЮМИНЕСЦЕНЦИЯ МНОГОЭКСПОНЕНЦИАЛЬНАЯ КИНЕТИКА ЛЮМИНЕСЦЕНЦИИ МНОГОЭКСИТОННАЯ ГЕНЕРАЦИЯ

- 5. КЛАСТЕРЫ КВАНТОВЫХ ТОЧЕК
- 6. ПРИЛОЖЕНИЯ И ЗАКЛЮЧЕНИЕ

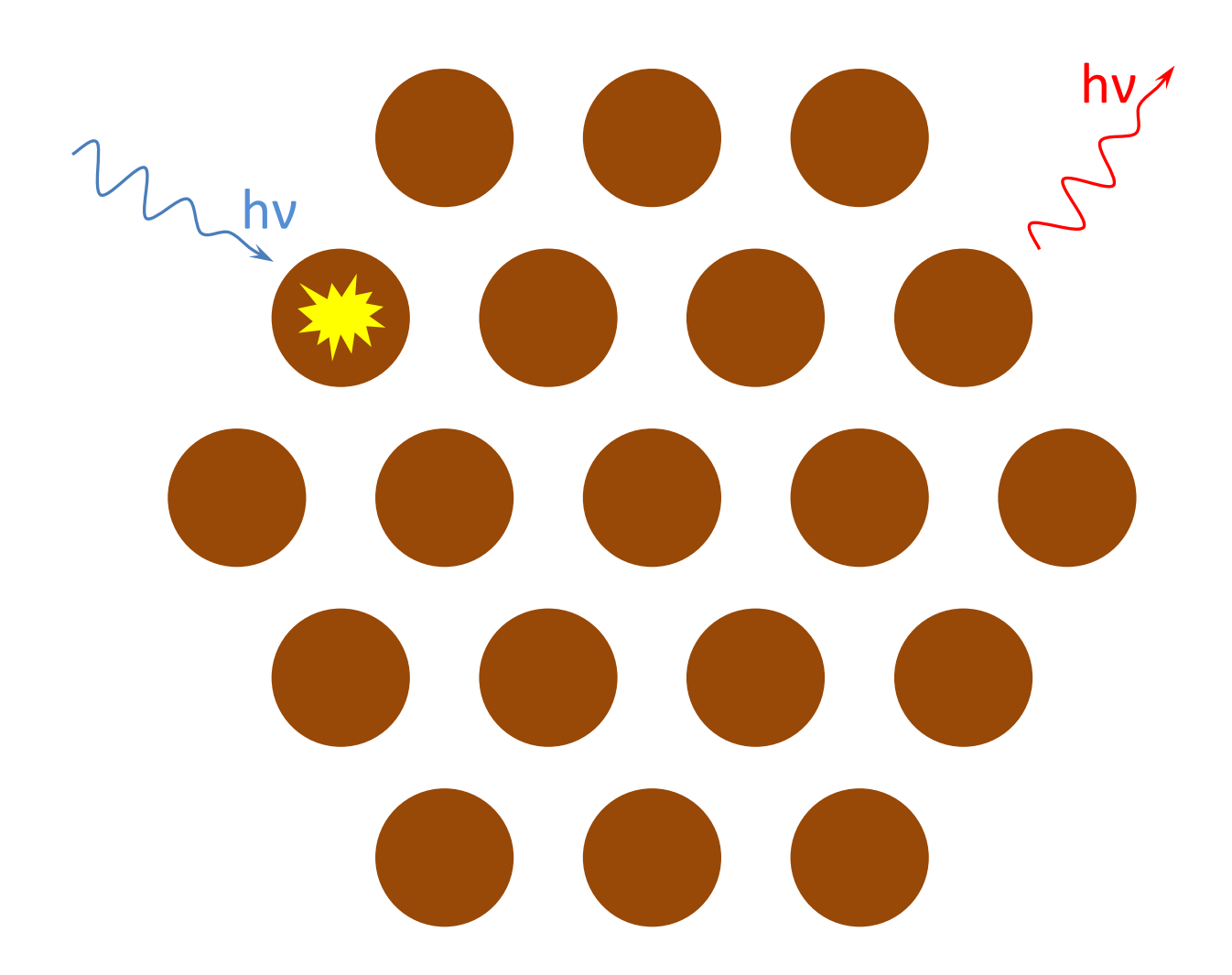
При добавлении метанола или ацетонитрила в коллоидный раствор квантовых точек размером 2-5 нм в хлороформе образуются нанокластеры размером 100 нм, состоящие из 10³ – 10⁴ отдельных наночастиц.



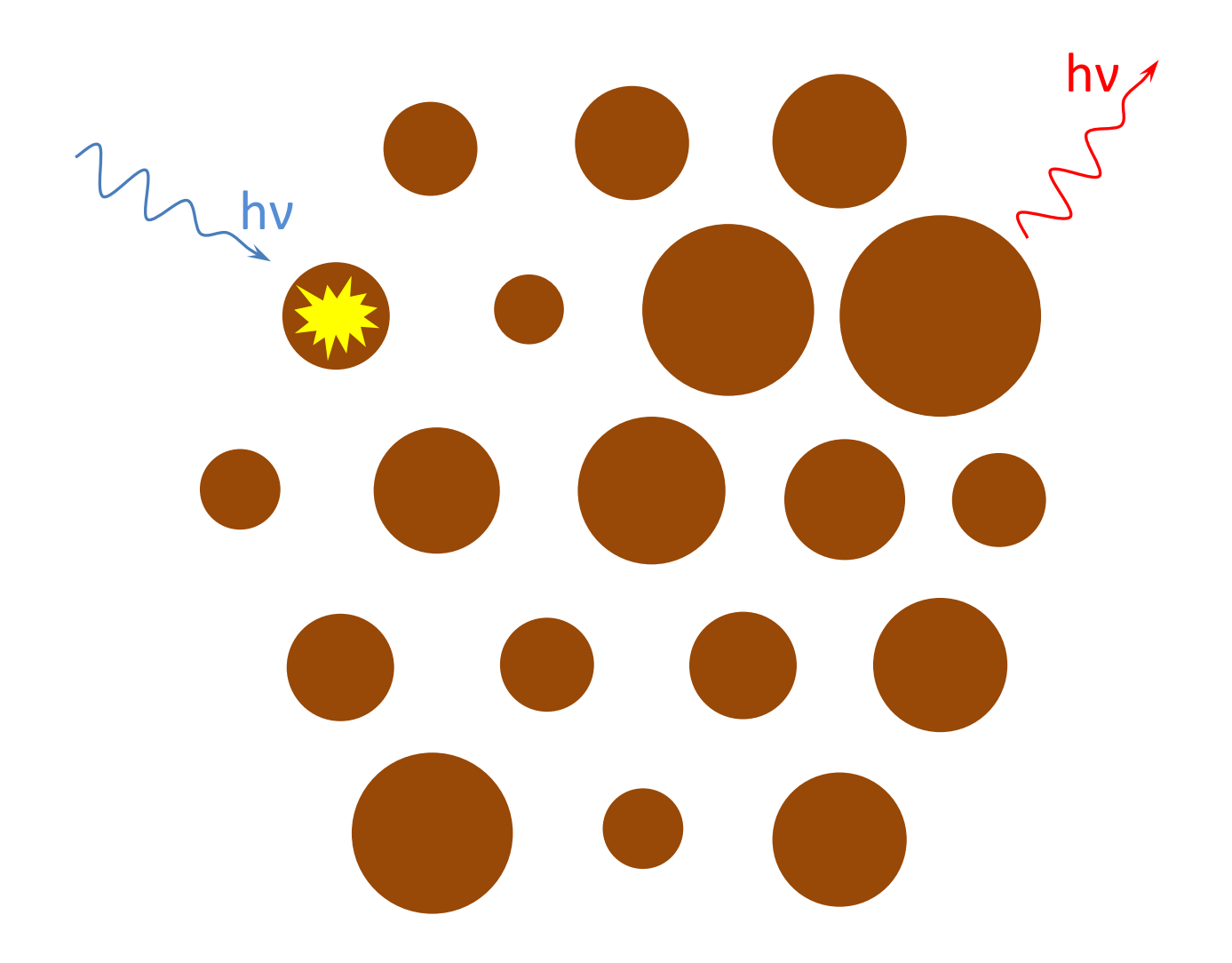
Фёрстеровский резонансный перенос энергии



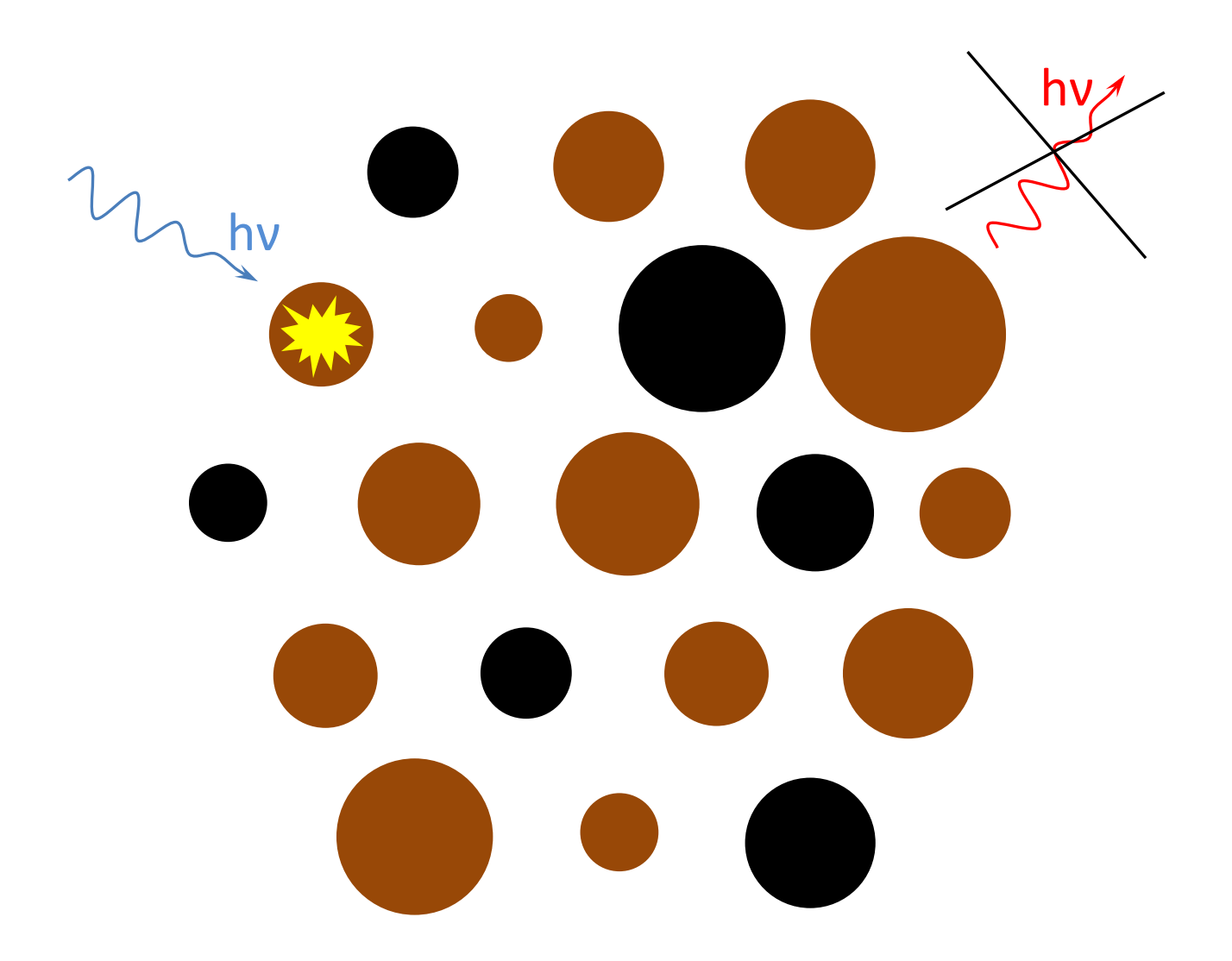
FRET в агрегатах квантовых точек



Неоднородность свойств ККТ



Мерцающая люминесценция (блинкинг)



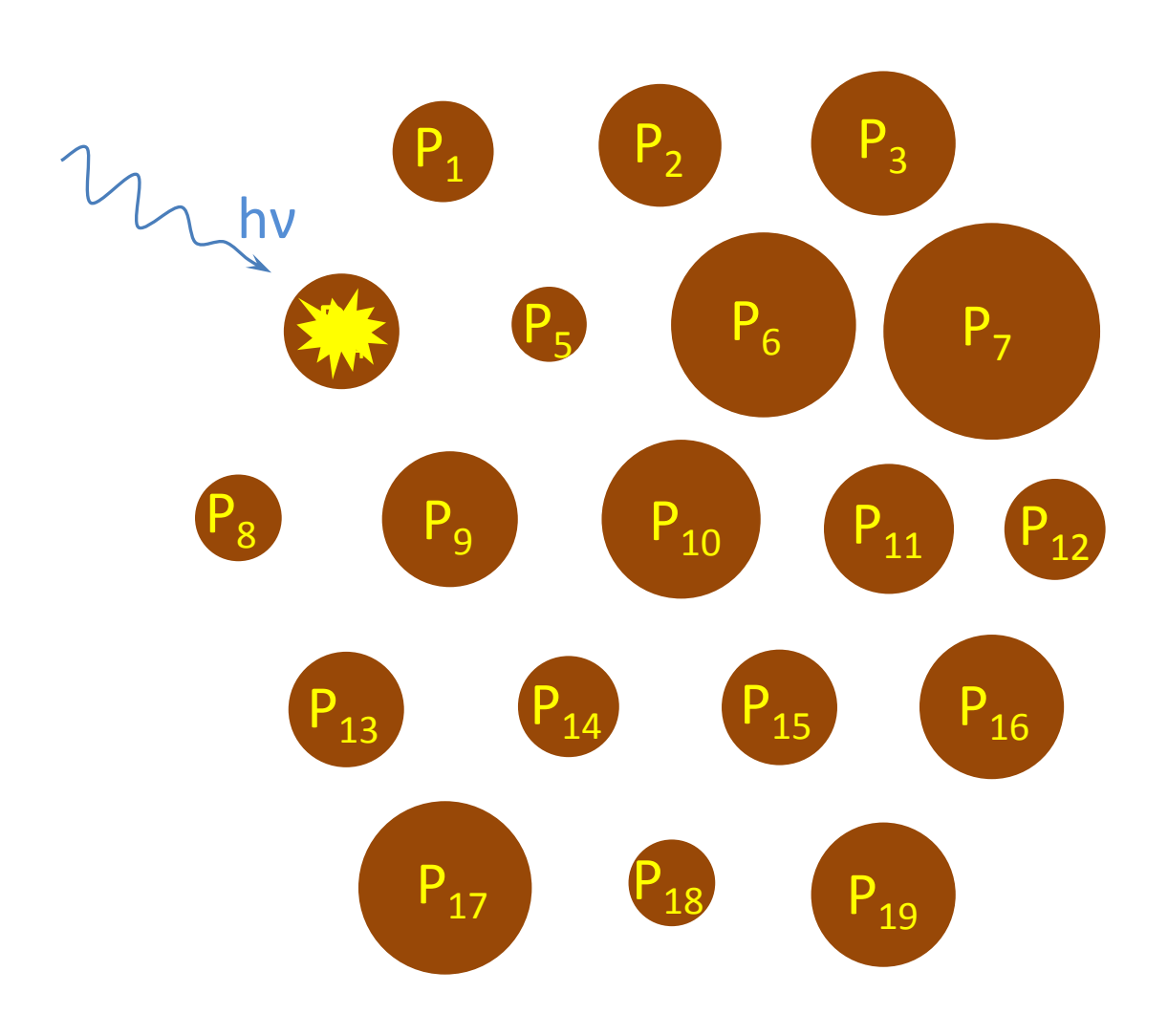
Модель

$$\begin{cases}
\tau dp_i/dt = -p_i + \sum_j (f_a a_{ji} \theta_i p_j - a_{ij} \theta_j p_i), & i = 1,...,n \\
p_i(0) = f_a \theta_i, & i = 1,...,n
\end{cases}$$

$$a_{ij} = N_{\text{eff}} \tau \omega_{ij}$$

$$\omega_{ij} = \omega_0 \exp\left(-\frac{\left(\nu_{0j} - \nu_{0i} + \Delta \nu\right)^2 - \Delta \nu^2}{4\delta \nu^2}\right)$$

Согласованность спектров поглощения и люминесценции



Распределение Больцмана:

$$P_i \sim e^{-\frac{E_i}{kT}}$$

Аналитические решения

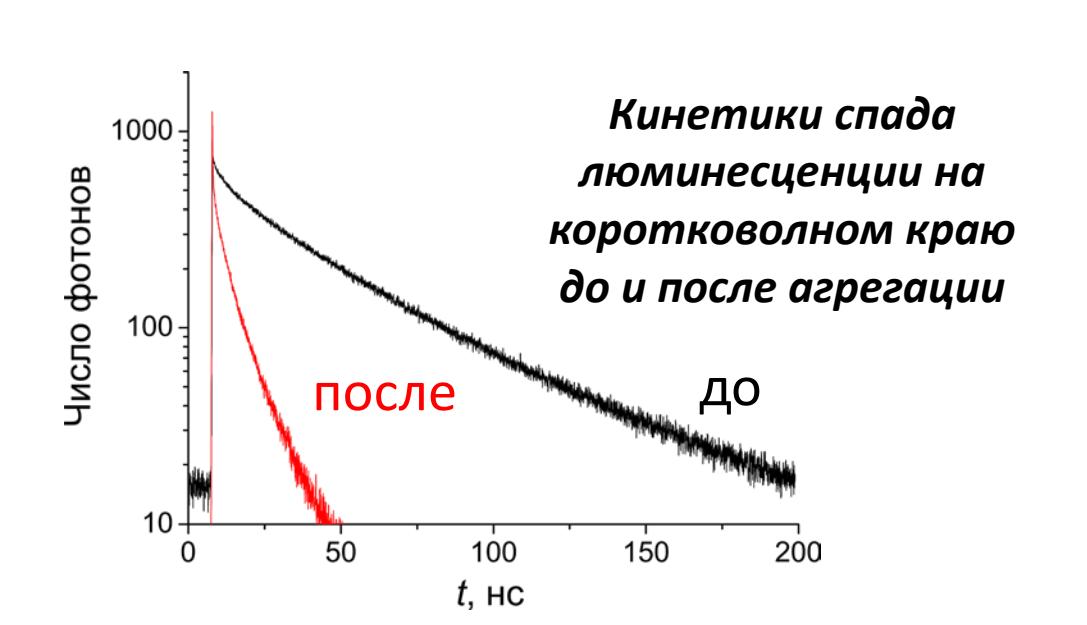
Стоксов сдвиг кластера
$$= 1 + \alpha \left(\frac{\text{Неоднородное уширение}}{\text{Однородное уширение}} \right)^2$$
 в свободном состоянии

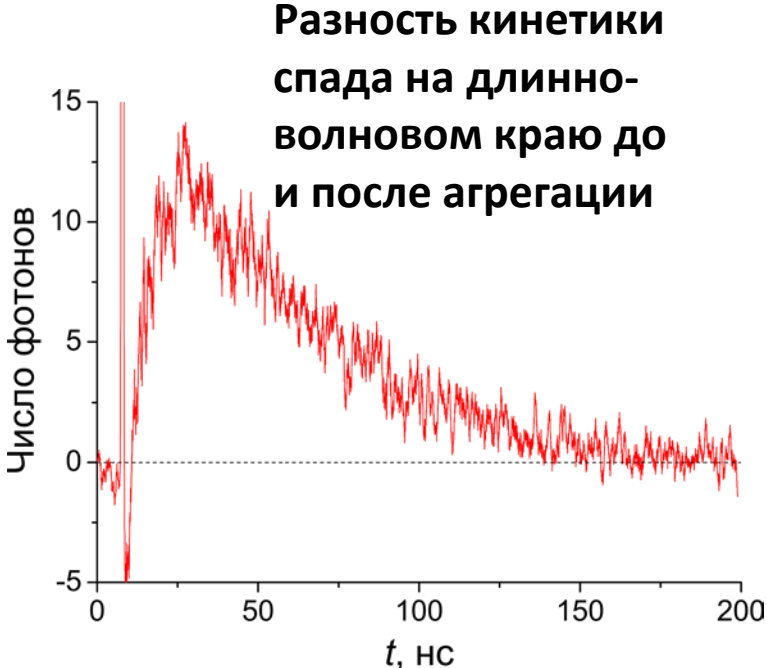
$$\alpha = \begin{cases} 1 & \text{при отсутствии блинкинга} \\ 0.5 & \text{при сильном блинкинге} \end{cases}$$

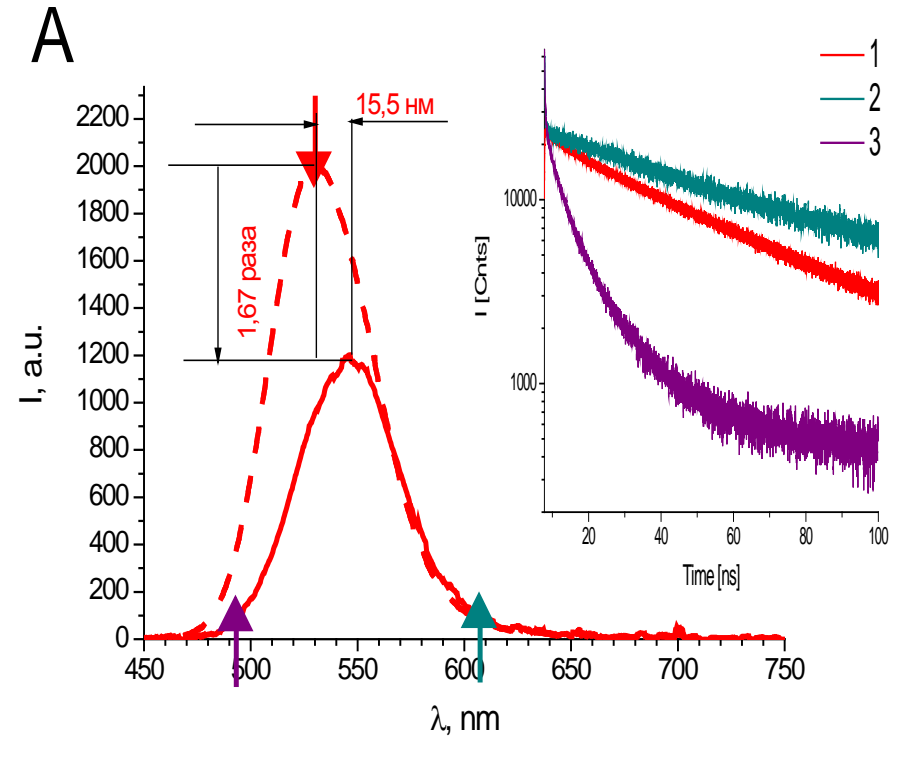
Квантовый выход кластера
$$= \frac{1}{1 + (доля \ тёмных) \times (скорость \ a_0)}$$
 в свободном состоянии

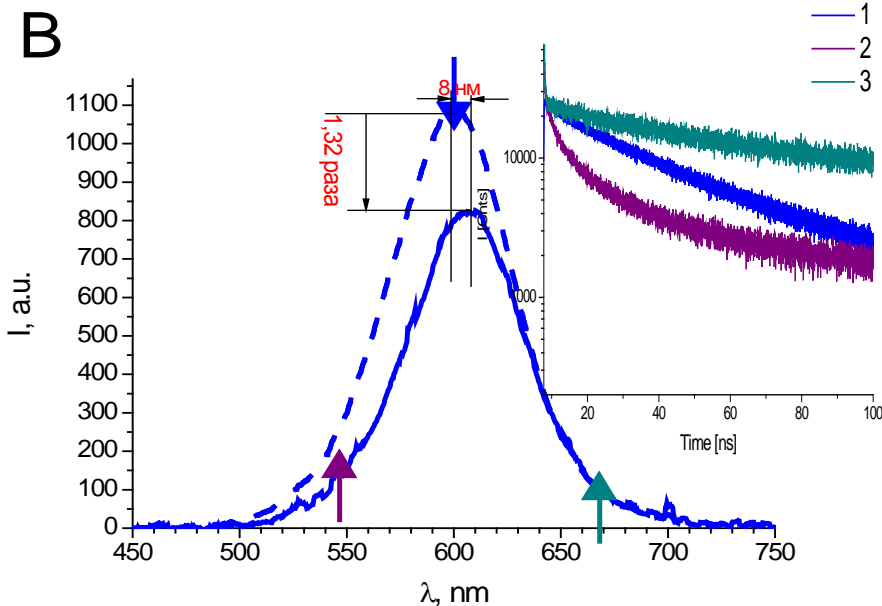
FRET в нанокластерах InP@ZnS d=2 нм









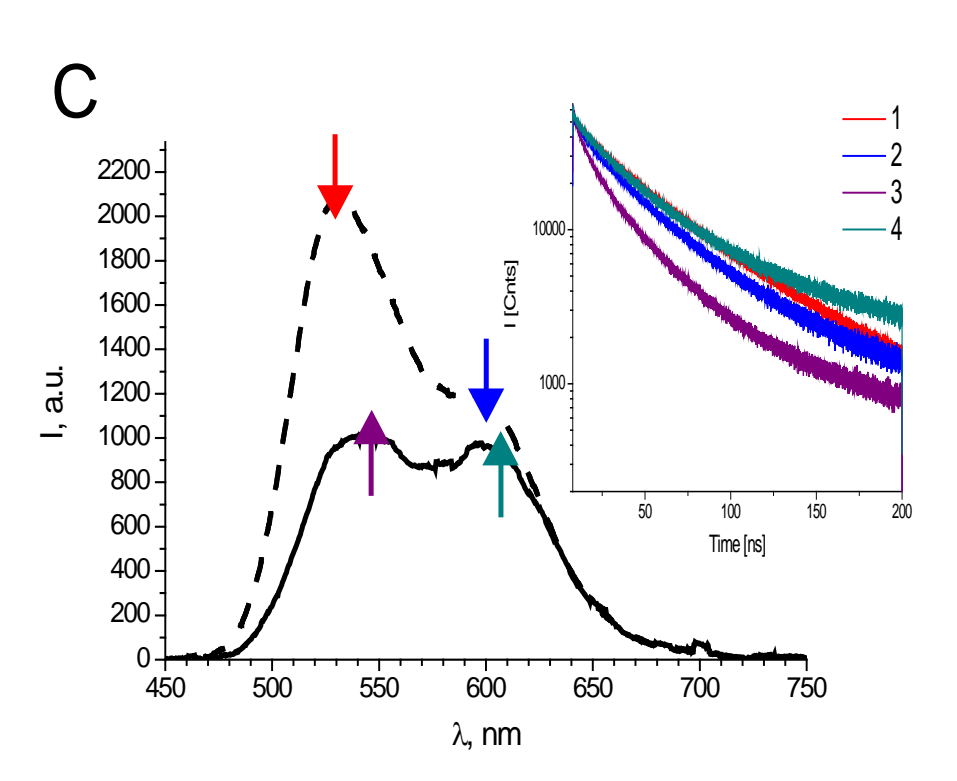


Кластеры квантовых точек «ядрооболочка» InP@ZnS

А - средний размер InP-ядер 1,8 нм

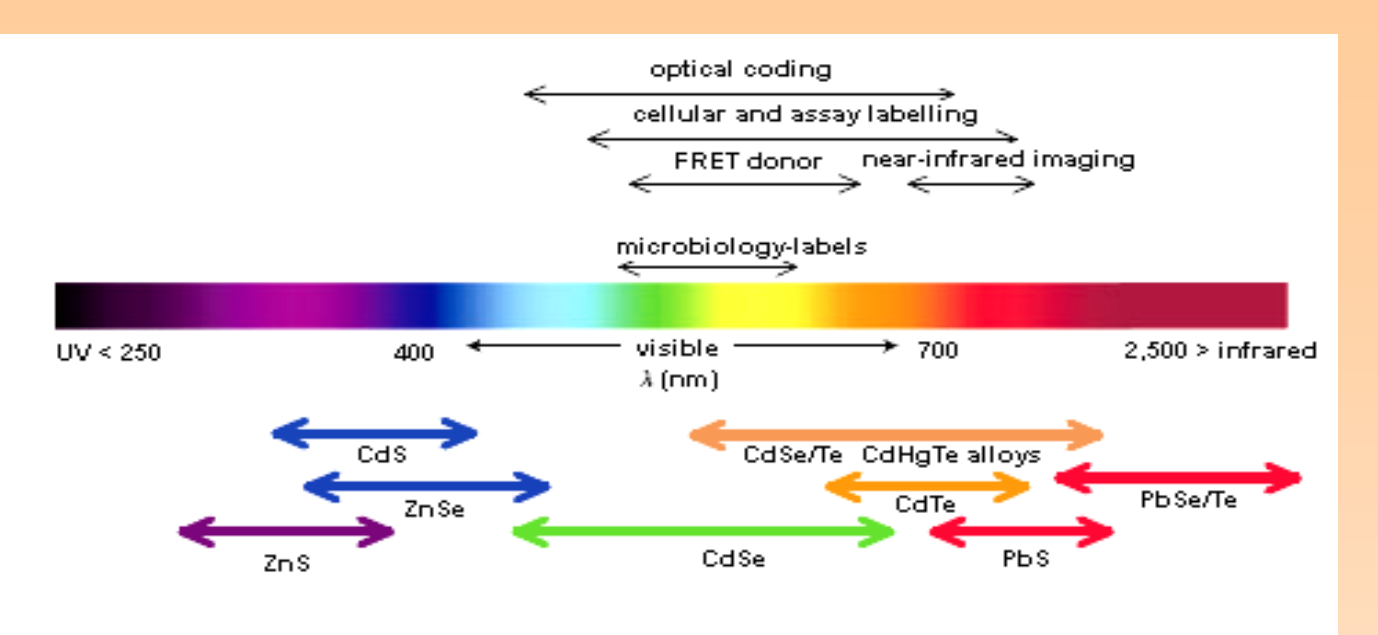
В - средний размер InP-ядер 2,9 нм

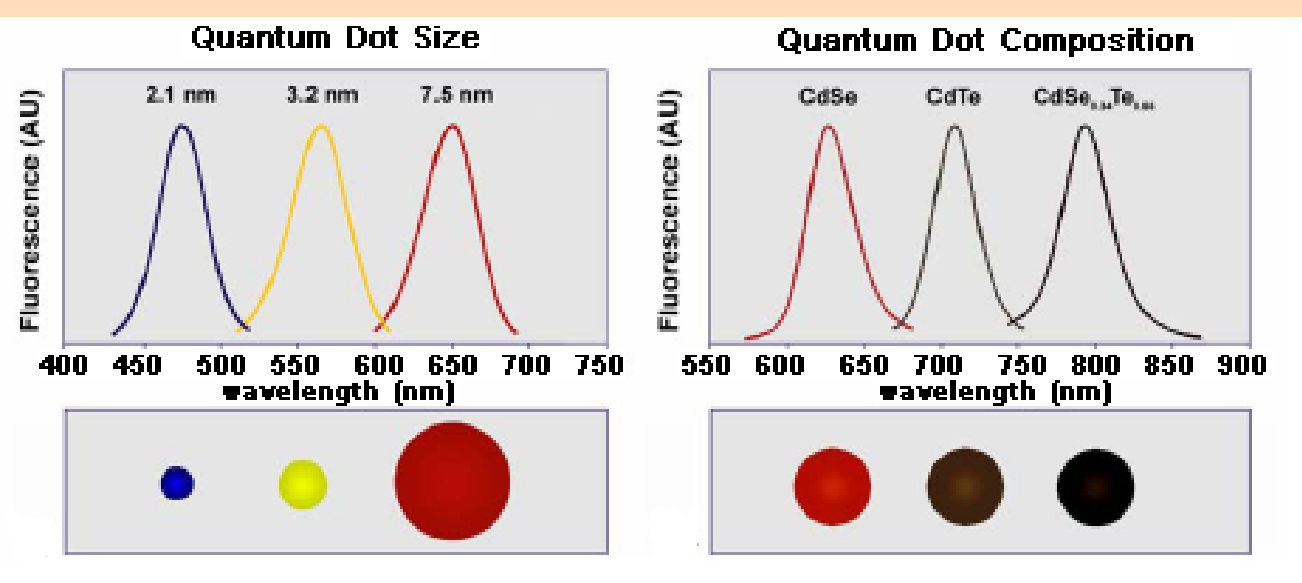
С – смесевой кластер А+В



Нанофотоника – от фундаментальных исследований до материалов и устройств.





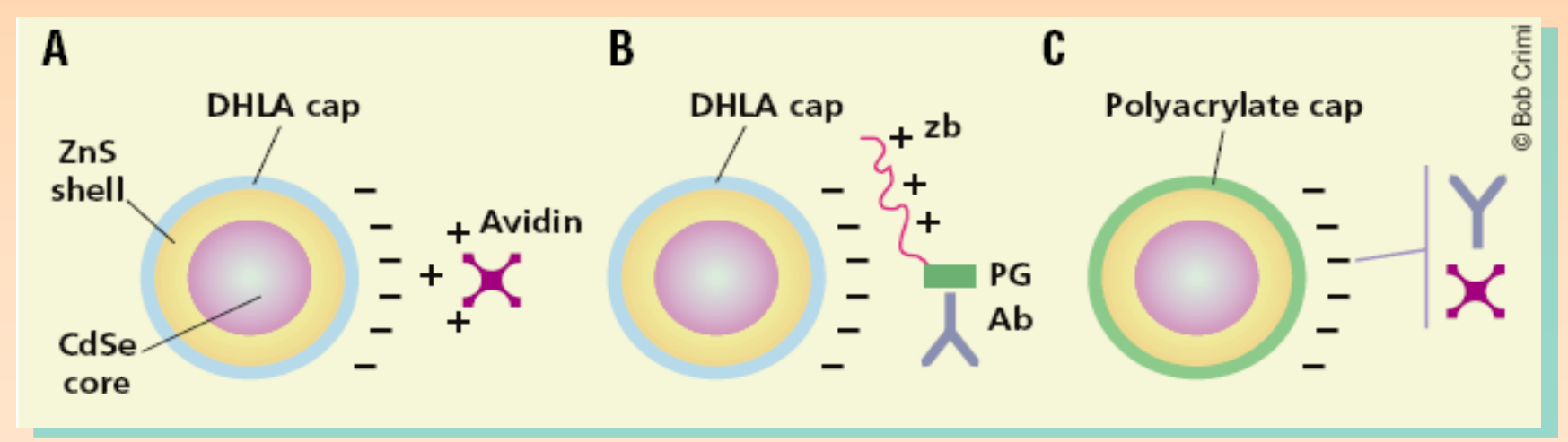


Коллоидные полупроводниковые нанокристаллы (CdSe, CdTe, Si, C, TiO_2 и т.д.), обладают необходимыми для биоимижинга оптическими и физико-химическими свойствами (спектральный диапазон, высокий квантовый выход, гидрофильность, устойчивость к агрегации и т.д.)



Разработка методов конъюгации QDs с биологическими лигандами:

- биоконъюгация с антителами и рекомбинантными протеинами для направленной доставки к клеткам-мишеням;
- биоконъюгация с нуклеиновыми кислотами



DHLA – дигидролипоевая кислота

Jovin T.M. Nature biotechnology, 2003

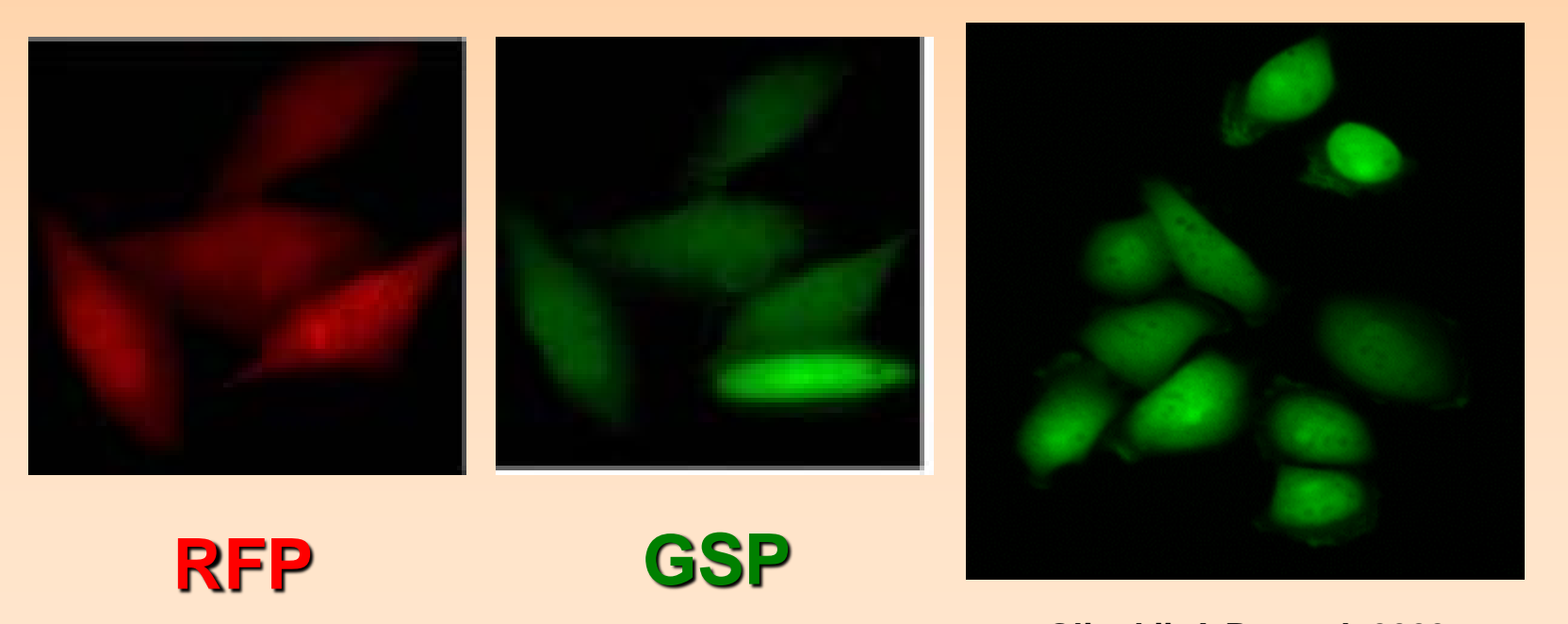
Электростатическое взаимодействие (А) – прямое,

(B) – посредством мостика из leucine zipper-пептида.

Ковалентная связь Ab и других белков с капсулой (С).



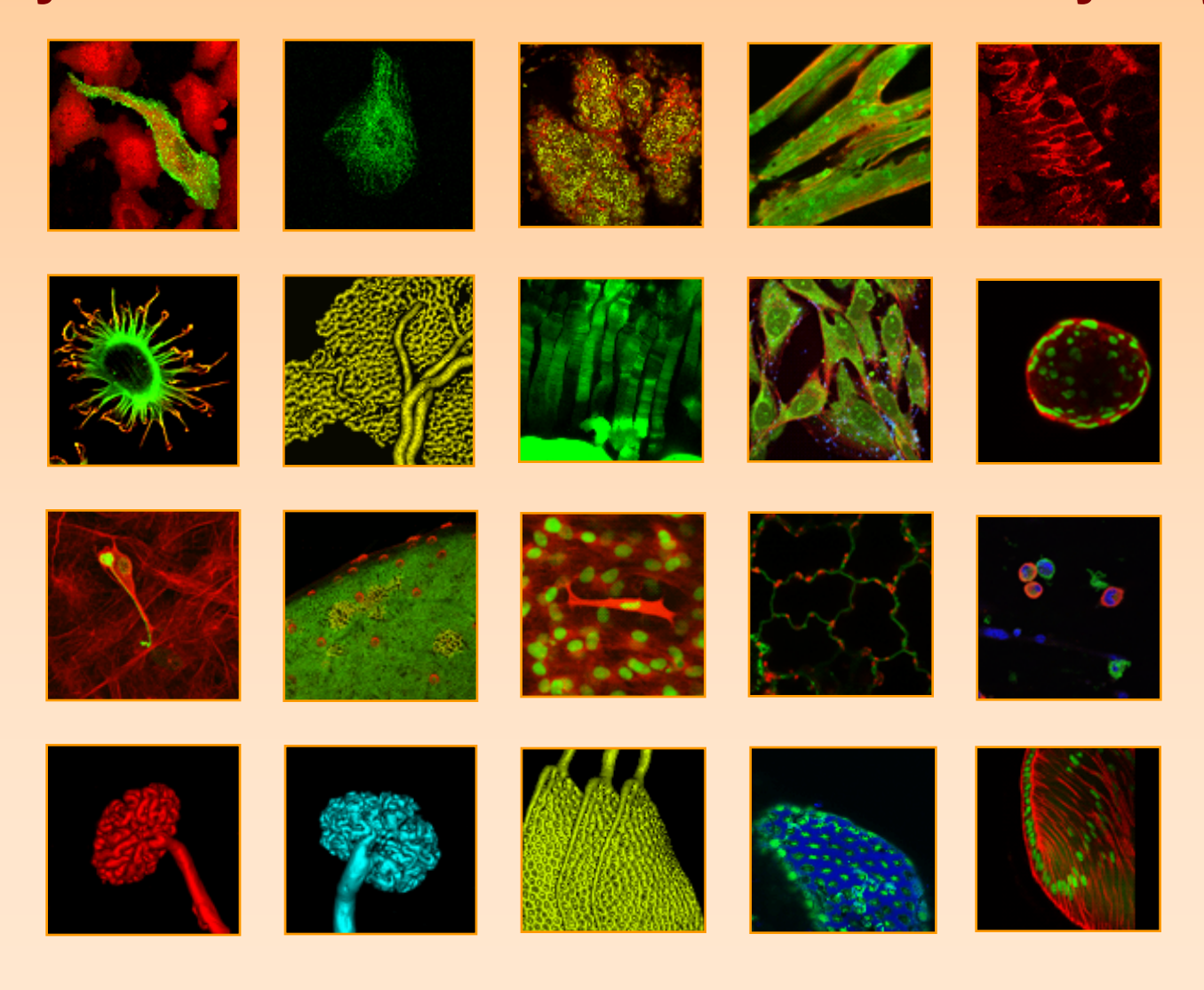
Разработка методики получения флуоресцентных белков, конъюгированных с антителами и рекомбинантными протеинами на их основе, для направленной доставки к клеткам-мишеням



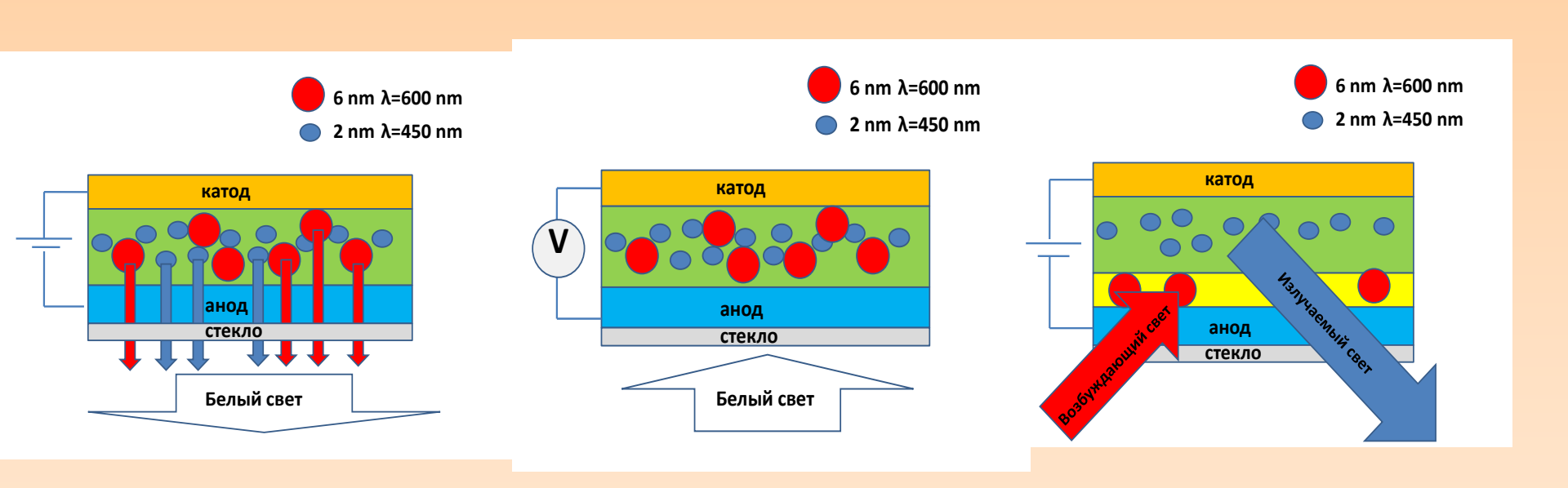
Glinskii, A.B., et al. 2003



Исследование биологических свойств полученных комплексов на клеточных культурах



Квантовые точки в фотовольтаических и электролюминесцентных устройствах



QD-OLED

QD-PV-cell QD-Up-Con

Впервые создан гибридный органический светоизлучающий диод, использующий в качестве активного светоизлучающего элемента безоболочечные коллоидные полупроводниковые 2D квантовые точки. Уникальность результата заключается в использовании наночастиц, не имеющих широкозонной оболочки. С использование такого класса нанобъектов, в которых ярко выражен эффект гигантской силы осциллятора перехода, возможно изготовить высокоэффективные источники света, излучающие в различных областях видимого спектра, в том числе и в синей област высокой спектральной чистотой цвета; это особенно важно в рамках дисплейных приложений. (А.Г.Витухновский)

0.9 1.5 nm nanoplatelets 8.0 0.7 1.8 nm nanoplatelets 0.6 500 580 0.5 0.4 600 620 0.3 700 0.2 480 0.1 1.2 nm nanoplatelets 0.0 0.13800.28.0 0.7

hν Κоллоидные квантовые точки – полупроводниковые нанокристаллы размером 2-10 нм, состоящие из 10**3 – 10**5 атомов, созданные на основе неорганических

Nanoplatelets (NPLs)

20-70 nm

полупроводниковых материалов CdSe, покрытые монослоем стабилизатора

CATHODE

TAZ

TPD

PEDOT:PSS

ANODE

SUBSTRATE

ЗАКЛЮЧЕНИЕ

Коллоидные квантовые точки — новый класс люминофоров, по своим люминесцентным свойствам существенно отличаются от молекулярных люминофоров, имеют перспективы для практического применения в фотонике, наноэлектронике и биомедицинской диагностике.

Спасибо за внимание



Sergei Brichkin



Sergej Tovstun



Vladimir Gak



Maxim Spirin

Alexander Nevidimov

Лаборатория фотоники наноразмерных систем ИПХФ РАН в Черноголовке